

2 ej'  
12



UNIVERSIDAD NACIONAL AUTONOMA DE MÉXICO  
FACULTAD DE CIENCIAS

Dos Problemas en  
Estabilidad Hidrodinámica

Tesis

Que para obtener el título de

Matemático

Presenta

Gustavo Cruz Pacheco

México, D. F. 1989

TESIS CON  
FALLA DE ORIGEN



Universidad Nacional  
Autónoma de México



**UNAM – Dirección General de Bibliotecas**  
**Tesis Digitales**  
**Restricciones de uso**

**DERECHOS RESERVADOS ©**  
**PROHIBIDA SU REPRODUCCIÓN TOTAL O PARCIAL**

Todo el material contenido en esta tesis esta protegido por la Ley Federal del Derecho de Autor (LFDA) de los Estados Unidos Mexicanos (México).

El uso de imágenes, fragmentos de videos, y demás material que sea objeto de protección de los derechos de autor, será exclusivamente para fines educativos e informativos y deberá citar la fuente donde la obtuvo mencionando el autor o autores. Cualquier uso distinto como el lucro, reproducción, edición o modificación, será perseguido y sancionado por el respectivo titular de los Derechos de Autor.

## INDICE

### PRIMERA PARTE

Introducción.....	1
Formulación del modelo.....	3
Fluido ideal.....	6
Ecuaciones aproximadas.....	8
Flujo viscoso.....	15
Ecuación a segundo orden.....	20
Estabilidad lineal.....	28
Efectos de amplitud finita.....	30
Explosión en tiempo finito.....	35
Apéndice I.....	39
Apéndice II.....	42
Apéndice III.....	50

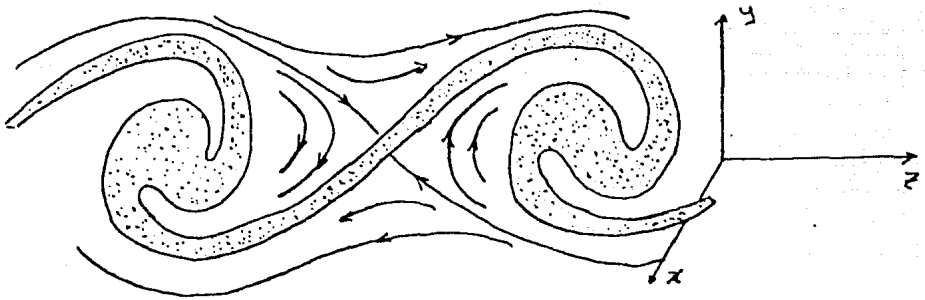
### SEGUNDA PARTE

Introducción.....	1
Sección I.....	5
Sección II.....	21
Sección III.....	41
Bibliografía	

## PRIMERA PARTE

## INTRODUCCION

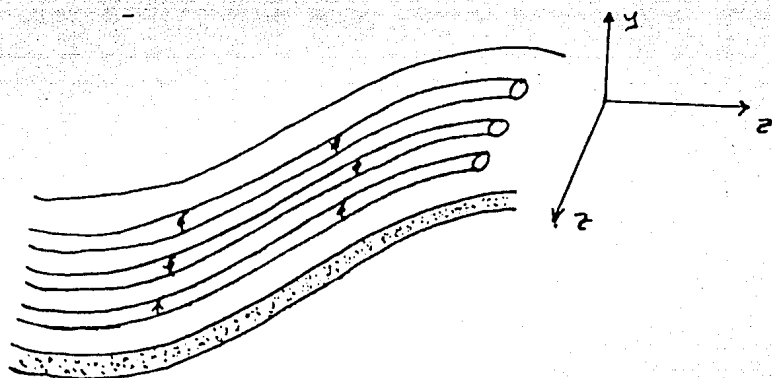
Un problema de interés en mecánica de fluidos es describir y entender la evolución de estructuras vorticosas en una capa mezclante. Estas capas mezclantes aparecen por ejemplo, cuando un fluido entra a presión en otro. El flujo básico es bidimensional, consistiendo de el enrollamiento e interacción entre sí de vórtices alineados con ejes perpendiculares a la dirección de las líneas de corriente. Los vórtices están conectados por filamentos llamados trenzas. Las trenzas están sujetas al proceso de deformación debido al enrollamiento. La vorticidad es lanzada desde las trenzas y los vórtices. Las líneas de corriente mostradas en la figura 1 ilustran gráficamente este efecto de deformación debido al enrollamiento.



La idea tradicional era la de estructuras bidimensionales como las que se muestran en la figura 1 que interaccionan amalgamándose. No fue hasta los años 70's que se descubrió una estructura tridimensional de vórtices secundarios cuyos ejes siguen a la trenza en la dirección del eje z como se ilustra en la figura 2.

Estos vórtices secundarios están sujetos a un estiramiento y compresión así como a la interacción con otros vórtices del arreglo. Esto tiende a concentrarlos. Por otra

parte la difusión debido a la viscosidad tiene un efecto contrario y tiende a desintegrar los vórtices. Experimentalmente se observa una rotación de los vórtices secundarios seguido por un colapso.

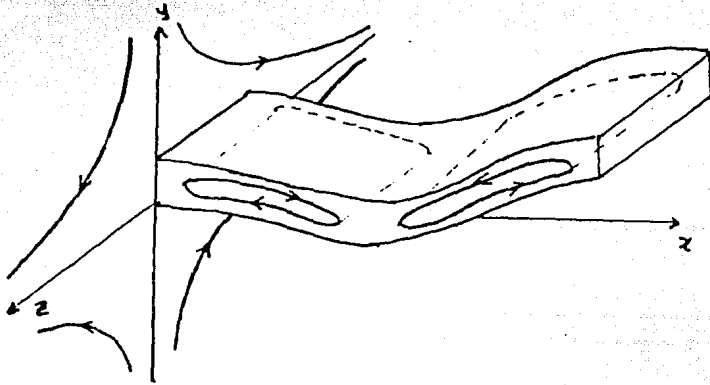


Los efectos de difusión se dejan sentir a un tiempo  $T=L^2/\nu$  donde  $L$  es una longitud característica del flujo y  $\nu$  es la viscosidad cinemática y los efectos de estiramiento se dejan sentir a un tiempo  $T=1/\gamma$  donde  $\gamma$  es el ritmo de deformación. Para tener estos dos efectos simultáneamente necesitamos que  $1/\gamma$  sea igual a  $L^2/\nu$  lo cual nos da una estructura de longitud  $L=(\nu/\gamma)^{1/2}=\delta$  como candidato a la longitud de equilibrio para los vórtices secundarios.

## FORMULACION DEL MODELO

Aproximamos el comportamiento del flujo primario en el centro de los vórtices como un campo de estiramiento  $U=(0, -\gamma y, \gamma z)$  constante que desprecia la interacción de los vórtices secundarios con el sistema primario.

La figura 3 muestra esquemáticamente el flujo primario y los vórtices secundarios



El movimiento de los vórtices secundarios se describe como una hoja de vorticidad concentrada en la zona de los vórtices y se derivará una ecuación para su evolución como aproximación a las ecuaciones de Navier-Stokes.

Si denotamos por  $\bar{u}(\bar{x})$  la velocidad del flujo y por  $\bar{\omega} = \nabla \times \bar{u}$  la vorticidad, podemos escribir las ecuaciones de Navier-Stokes en la forma: (ver Batchelor (1))

$$\begin{aligned} \bar{\omega}_t &= \nabla \times (\bar{u} \times \bar{\omega}) + \nu \Delta \bar{\omega} \\ \nabla \times \bar{u} &= \bar{\omega} \\ \nabla \cdot \bar{u} &= 0 \end{aligned}$$

Sujetas a condiciones iniciales sobre  $\bar{\omega}$ . Para modelar la

situación que se desea se toma  $\tilde{u} = U + \tilde{u}$  donde  $\tilde{u}(x, y, t)$  es el movimiento de los vórtices secundarios.

$$\tilde{u} = \tilde{u}(u(x, y, t), v(x, y, t), 0)$$

y

$$\nabla \cdot \tilde{u} = 0$$

por lo tanto existe una función de corriente  $\psi$  tal que  $u = -\psi_y$  y  $v = \psi_x$ . Escribiendo  $\tilde{\omega}$  en términos de  $\psi$  tenemos:

$$\tilde{\omega} = \tilde{\omega}(0, 0, \omega(x, y, t)) = \nabla \times \tilde{u} = (0, 0, \Delta \psi)$$

de donde obtenemos:

$$\Delta \psi = \omega$$

Resolviendo la ecuación para  $\psi$  encontramos:

$$\psi(x, y, t) = \frac{1}{2\pi} \int_{-\infty}^{\infty} \int_{-\infty}^{\infty} \omega(x', y', t) \log[(x-x')^2 + (y-y')^2]^{\frac{1}{2}} dx' dy'$$

Derivando obtenemos las velocidades  $u$  y  $v$ :

$$u = -\psi_y = -\frac{1}{2\pi} \int_{-\infty}^{\infty} \int_{-\infty}^{\infty} \frac{(y-y')\omega(x', y', t)}{(x-x')^2 + (y-y')^2} dx' dy'$$

$$v = \psi_x = \frac{1}{2\pi} \int_{-\infty}^{\infty} \int_{-\infty}^{\infty} \frac{(x-x')\omega(x', y', t)}{(x-x')^2 + (y-y')^2} dx' dy'$$

Usando el hecho de que  $\tilde{\omega} = \tilde{\omega}(0, 0, \omega)$  y  $\tilde{u} = \tilde{u}(u, v, 0)$  obtenemos

$$\tilde{u} \times \tilde{\omega} = (v\omega, -u\omega, 0)$$



de donde se obtiene

$$\nabla \times (\bar{u} \times \bar{w}) = -(0, 0, (u w)_x + (v w)_y)$$

Usando el flujo básico  $U = (0, -\gamma y, \gamma z)$  obtenemos la siguiente ecuación para la vorticidad  $w(x, y, t)$ :

$$w_t + (u w)_x + ((v - \gamma y) w)_y = \nu \Delta w \quad (1)$$

donde

$$u = -\frac{1}{2\pi} \int_{-\infty}^{\infty} \int_{-\infty}^{\infty} \frac{(y - y') w(x', y', t)}{(x - x')^2 + (y - y')^2} dx' dy' \quad (2)$$

y

$$v = \frac{1}{2\pi} \int_{-\infty}^{\infty} \int_{-\infty}^{\infty} \frac{(x - x') w(x', y', t)}{(x - x')^2 + (y - y')^2} dx' dy' \quad (3)$$

son las componentes en las direcciones  $x$  y  $y$  de la velocidad inducida por la vorticidad.

La ecuación (1) con  $u$  y  $v$  dadas por (2) y (3) constituyen una ecuación integro-diferencial exacta para la evolución de la vorticidad  $w$ , la ecuación se supone válida en todo el espacio y la condición inicial  $w(x, y, 0)$  especifica la forma y concentración inicial de los vórtices secundarios. El contenido físico de esta ecuación de evolución es que la vorticidad es conveccionada por la suma de las velocidades autoinducidas y por la componente  $y$  de la deformación y hay difusión de la vorticidad debido a la viscosidad.

## FLUIDO IDEAL

Quando  $v=0$  se pueden buscar soluciones con la forma de una hoja de vórtices concentrados en una superficie de espesor 0. Es decir buscar una solución de la forma

$$\omega(x, y, t) = \sigma(x, t) \delta(y - \eta(x, t)) \quad (4)$$

donde  $\eta$  es la elevación de la superficie,  $\sigma$  es la densidad superficial de vorticidad y  $\delta$  es la distribución de Dirac.

Sustituyendo la expresión para  $\omega$  en (1), (2) y (3) y derivando como distribución se tiene: (ver apéndice I)

$$\eta_t + u\eta_x - v + \gamma\eta = 0 \quad (5)$$

$$\sigma_t + (u\sigma)_x = 0 \quad (6)$$

La primera ecuación dice que  $\eta$  se mueve como una superficie libre convectada en la dirección vertical con velocidad  $v - \gamma\eta$  y con velocidad  $u$  en la horizontal. La segunda ecuación expresa la conservación de la vorticidad.

Las velocidades autoinducidas están dadas por el valor principal de las siguientes integrales:

$$u = -\frac{1}{2\pi} \int_{-\infty}^{\infty} \frac{\eta(x, t) - \eta(x', t)}{(x - x')^2 + (\eta(x, t) - \eta(x', t))^2} \sigma(x', t) dx' \quad (7)$$

$$v = \frac{1}{2\pi} \int_{-\infty}^{\infty} \frac{x - x'}{(x - x')^2 + (\eta(x, t) - \eta(x', t))^2} \sigma(x', t) dx' \quad (8)$$

Estas ecuaciones fueron estudiadas numéricamente (Corcos [4]) observándose un colapso de los vórtices y una rotación de la hoja. Posteriormente John Neu [2] dió una teoría aproximada que explica el colapso y la rotación. Esta es la aproximación que ahora explicamos.

## ECUACIONES APROXIMADAS

La aproximación consiste en suponer que  $v = \gamma \eta$  es decir que la hoja de vórtices se coloca para equilibrar la velocidad autoinducida con la velocidad del campo externo y además los cambios en  $\eta$  son pequeños ( $\eta_x \ll 1$  y  $\eta_t \ll 1$ ) lo que de hecho equivale a buscar soluciones de onda larga.

Con esta aproximación se tienen de las ecuaciones (5) y (6)

$$\eta = \frac{1}{\gamma} v \quad (9)$$

$$\sigma_\tau + (u\sigma)_x = 0 \quad (10)$$

y de las ecuaciones (7) y (8) tenemos que

$$u = -\frac{1}{2\pi} \mathcal{P} \int_{-\infty}^{\infty} \frac{\eta(x, t) - \eta(x', t)}{(x - x')^2} \sigma(x', t) dx' \quad (11)$$

$$v = \frac{1}{2\pi} \mathcal{P} \int_{-\infty}^{\infty} \frac{\sigma(x', t)}{x - x'} dx' \quad (12)$$

donde hemos tomado

$$\frac{\eta(x, t) - \eta(x', t)}{x - x'} \ll 1$$

ya que buscamos soluciones de onda larga.

Las ecuaciones (9) - (12) pueden ser reducidas a una sola ecuación para  $\sigma$  expresando  $u$  en términos de  $\sigma$ .

De (12) tenemos que

$$V = \frac{1}{2} \hat{\sigma}$$

Donde  $\hat{\sigma}$  es la transformada de Hilbert de  $\sigma$  definida como (ver apéndice II)

$$\hat{\sigma}(x, t) = \frac{1}{\pi} P \int_{-\infty}^{\infty} \frac{\sigma(x', t)}{x - x'} dx'$$

tenemos

$$\eta = \frac{1}{\gamma} V = \frac{1}{2\gamma} \hat{\sigma}$$

de donde se puede expresar  $u$  como

$$u = -\frac{1}{4\gamma\pi} P \int_{-\infty}^{\infty} \frac{\hat{\sigma}(x, t) - \hat{\sigma}(x', t)}{(x - x')^2} \sigma(x', t) dx'$$

Necesitamos ahora evaluar esta integral para obtener una expresión más manejable para  $u$ .

Usando el hecho de que (ver apéndice II)

$$\hat{\sigma} = -i(\sigma^+ - \sigma^-)$$

de donde obtenemos

$$u = -\frac{i}{4\gamma\pi} P \int_{-\infty}^{\infty} \left\{ \frac{\sigma^+(x', t) - \sigma^-(x', t)}{(x - x')^2} \sigma^+(x', t) - \frac{\sigma^-(x', t) - \sigma^+(x', t)}{(x - x')^2} \sigma^-(x', t) + \frac{\sigma^+(x', t) - \sigma^-(x', t)}{(x - x')^2} \sigma^-(x', t) - \frac{\sigma^-(x', t) - \sigma^+(x', t)}{(x - x')^2} \sigma^+(x', t) \right\} dx'$$

Calculando los residuos en los polos tenemos:

$$\begin{aligned}u &= \frac{1}{4\gamma} (\sigma_x^+ \sigma^+ + \sigma_x^- \sigma^- + \sigma_x^+ \sigma^- + \sigma_x^- \sigma^+) = \\&= \frac{1}{8\gamma} (\sigma^{+2} + \sigma^{-2} + 2\sigma^+ \sigma^-)_x = \frac{1}{8\gamma} ((\sigma^+ + \sigma^-)^2)_x = \\&= \frac{1}{8\gamma} (\sigma^2)_x = \frac{1}{4\gamma} \sigma \sigma_x\end{aligned}$$

Sustituyendo esta expresión para  $u$  en la ecuación (10) obtenemos:

$$\sigma_t + \frac{1}{4\gamma} (\sigma^2 \sigma_x)_x = 0 \quad (13)$$

Esta es una ecuación no lineal de difusión que describe la evolución de la vorticidad. Obsérvese que el coeficiente de difusión es  $-(1/4\gamma)\sigma^2$  lo cual hace a la ecuación inestable.

Para entender el colapso buscaremos soluciones que lo describan.

Por analogía con la ecuación del calor (que tiene difusión positiva) buscaremos soluciones de soporte finito que se encojan a lo largo del tiempo. Estas tienen la forma de

$$\sigma(x, t) = \frac{1}{a(t)} F(z) \quad \text{donde} \quad z = \frac{x^2}{a^2(t)}$$

tenemos así

$$\sigma_t = -\frac{a'}{a^2} f - \frac{2a'x^2}{a^4} \quad \sigma_x = \frac{2x}{a^3} f'$$

sustituyendo obtenemos

$$\sigma_t + \frac{1}{4\gamma} (\sigma^2 \sigma_x)_x = \frac{1}{\gamma a^5} \left\{ -\gamma a' a^3 (\bar{f} + 2z F') + \right. \\ \left. + \frac{1}{2} (F^2 F' + 2z (F^2 F')') \right\} = 0$$

Para que existan soluciones de similaridad necesitamos

$$-\gamma a' a^3 = \kappa \quad (\kappa \text{ constante positiva})$$

$$\left(\frac{1}{4} a^4\right)' = -\frac{\kappa}{\gamma}$$

$$\frac{1}{4} a^4 = 1 - \frac{\kappa}{\gamma} t$$

$$a_t = \left(4\left(1 - \frac{\kappa}{\gamma} t\right)\right)^{\frac{1}{4}}$$

escogiendo  $\kappa/\gamma = \Gamma^2$  y  $1 = \frac{1}{4} a_0^4$  tenemos

$$a(t) = a_0 \left(1 - \frac{\Gamma^2}{a_0^4} t\right)^{\frac{1}{4}}$$

tenemos ahora que

$$\kappa (\bar{f} + 2z F') + \frac{1}{2} (F^2 F' + 2z (F^2 F')^2) = 0$$

$$\left(\kappa F + \frac{1}{2} F^2 F'\right) + 2z \left(\kappa F + \frac{1}{2} F^2 F'\right)' = 0$$

Una clase simple de soluciones de esta ecuación se obtiene tomando  $f$  una solución de

$$\kappa F + \frac{1}{2} F^2 F' = 0$$

entonces

$$\frac{1}{2} F F' = -K$$

$$\left(\frac{1}{2} F^2\right)' = -2K$$

$$\frac{1}{2} F^2 = C - 2Kz$$

$$F(z) = (2C - 4Kz)^{\frac{1}{2}}$$

escogiendo

$$K = \gamma \Gamma^2 \quad \text{y} \quad C = 2\gamma \Gamma^2$$

tenemos

$$F(z) = 2\Gamma \gamma^{\frac{1}{2}} (1 - z^2)^{\frac{1}{2}}$$

por lo tanto

$$\sigma(x, t) = \frac{2\Gamma \gamma^{\frac{1}{2}}}{a(t)} \left(1 - \frac{x^2}{a^2(t)}\right)^{\frac{1}{2}}$$

donde

$$a(t) = a_0 \left(1 - \frac{4\Gamma^2}{a_0^4} t\right)^{\frac{1}{4}}$$

En estas fórmulas  $\Gamma$  es la vorticidad total del segmento,  $a_0$  es la mitad de su longitud inicial y  $a(t)$  es la mitad de su longitud al tiempo  $t$ . Vemos de (15) que el segmento se colapsa a un punto en el tiempo  $T_c$  dado por

$$T_c = \frac{a_0^4}{4\Gamma^2}$$



De esta forma observamos que los vórtices más intensos se colapsan más rápidamente

$$T_c \rightarrow 0 \quad \text{Si} \quad \Gamma \rightarrow \infty$$

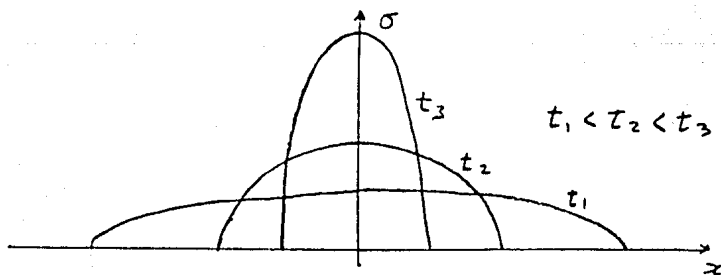
De (9) y (12) podemos encontrar la elevación  $\eta$  correspondiente a la densidad de vorticidad  $\sigma$  dada por (14). Esta es:

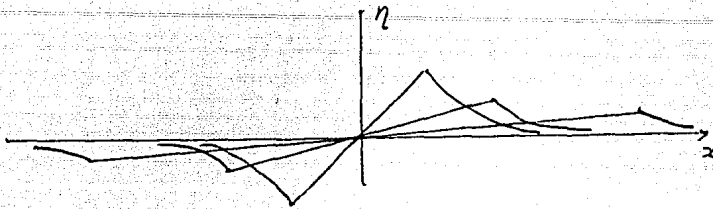
$$\eta = \frac{1}{2\gamma} \hat{\sigma} = \frac{1}{\pi} \frac{\Gamma}{\gamma^{\frac{1}{2}} a(t)} \int_{-a(t)}^{a(t)} \frac{1}{x-x'} \left(1 - \frac{x'^2}{a^2(t)}\right)^{\frac{1}{2}} dx' = \frac{1}{\pi} \frac{\Gamma}{\gamma^{\frac{1}{2}} a} \int_{-a}^a \frac{(a^2 - x'^2)^{\frac{1}{2}}}{x-x'} dx'$$

de donde obtenemos (ver apéndice II)

$$\eta(x, t) = \begin{cases} \frac{2\Gamma}{\gamma^{\frac{1}{2}} a^2(t)} (x + (x^2 - a^2(t))) & x < -a \\ \frac{2\Gamma}{\gamma^{\frac{1}{2}} a^2(t)} x & |x| \leq a \\ \frac{2\Gamma}{\gamma^{\frac{1}{2}} a^2(t)} (x - (x^2 - a^2(t))) & x > a \end{cases}$$

de aquí vemos que  $\eta$  es una función lineal de  $x$  para  $|x| < a$ . Las siguientes figuras muestran la evolución de  $\sigma$  y  $\eta$  como fueron dadas por la solución de similitud.





Una condición de validez para esta teoría es que  $\eta_x \ll 1$ . Aplicando este criterio a la solución de similitud con  $|x| < a$ , encontramos que ésta es válida solo cuando  $\Gamma/a^2 \ll 1$ . Esto es solo para pequeños valores de la inclinación de la hoja de vórtices respecto a la horizontal.

Esta rotación fue encontrada en las simulaciones numéricas de Corcos [4] y su comienzo es consecuencia del colapso del vórtice.

## FLUJO VISCOZO

Ahora estudiaremos los efectos de la viscosidad. El primer efecto es el que la hoja tiene ahora un espesor finito y la pregunta por resolver es si la viscosidad impide el colapso y se alcanza una situación estacionaria de un arreglo de vórtices secundarios.

Para esto es necesario un desarrollo sistemático de la aproximación para obtener así un término que pudiera estabilizar la ecuación obtenida.

La ecuación (1):

$$w_t + (uw)_x + ((v-y)w)_y = \nu \Delta w \quad (1)$$

donde

$$u = -\frac{1}{2\pi} \int_{-\infty}^{\infty} \int_{-\infty}^{\infty} \frac{(y-y')w(x',y',t)}{(x-x')^2 + (y-y')^2} dx' dy' \quad (2)$$

y

$$v = \frac{1}{2\pi} \int_{-\infty}^{\infty} \int_{-\infty}^{\infty} \frac{(x-x')w(x',y',t)}{(x-x')^2 + (y-y')^2} dx' dy' \quad (3)$$

tiene una solución estacionaria independiente de  $x$  de la forma (ver Batchelor [1])

$$w = A \left( \frac{\gamma}{2\pi\nu} \right)^{\frac{1}{2}} e^{-\frac{\gamma}{2\nu} (y-\mu)^2}$$

que representa una vorticidad concentrada en la región  $y=\mu$  y con máxima intensidad  $A$ . La idea es encontrar una modulación de onda

larga de esta solución viscosa de la forma

$$w(x, y, t) = \sigma(x, t) \left( \frac{\gamma}{2\pi\gamma} \right)^{\frac{1}{2}} e^{-\frac{1}{2} \frac{\gamma}{\nu} (y - \eta(x, t))^2}$$

donde esperamos que  $\sigma$  y  $\eta$  evolucionen en una escala más lenta en  $x$  y  $t$ .

En este caso la dinámica de esta vorticidad está determinada por la evolución de  $\sigma(x, t)$  y  $\eta(x, t)$ .

La primera idea es añadir un término difusivo a  $\sigma$  de la forma  $\nu \sigma_{xx}$  al coeficiente que calculamos antes y decir que la difusión negativa  $\sigma^2/4\gamma$  provocada por la compresión se compensa con  $\nu \sigma_{xx}$  que es la difusión por viscosidad.

Las ecuaciones quedan pues como:

$$\sigma_t + \left( \frac{1}{4\gamma} \sigma^2 - \nu \right) \sigma_x = 0 \quad (16)$$

$$\gamma \eta = \frac{1}{2\pi} \int_{-\infty}^{\infty} \frac{\sigma(x', t)}{x - x'} dx' = \frac{1}{2} \hat{\sigma} \quad (17)$$

Estas ecuaciones son el análogo viscoso de las ecuaciones de transporte del caso inviscido (9), (10) y (12). La ecuación (16) dice que  $\sigma$  es una cantidad localmente conservada cuyo flujo es:

$$F = \left( \frac{1}{4\gamma} \sigma \sigma_x \right) \sigma - \nu \sigma_x$$

El primer término de esta ecuación representa el flujo debido a la compresión. El segundo término es el flujo debido a la difusión viscosa.

La ecuación (16) es una ecuación no lineal de difusión con difusividad

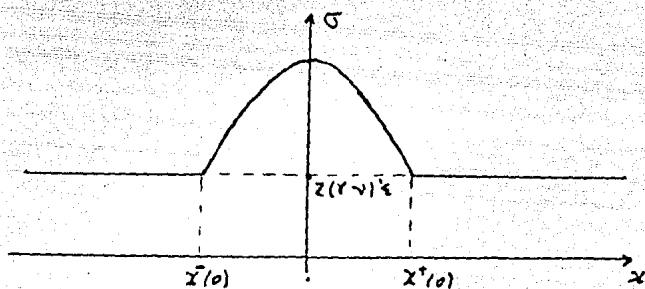
$$D(\sigma) = \nu - \frac{1}{4\gamma} \sigma^2$$

Si

$$|\sigma| > 2(\nu\gamma)^{\frac{1}{2}}$$

la difusividad es negativa y daremos un argumento no riguroso de que la solución se colapsa como en el caso inviscido. El resultado riguroso del colapso será discutido en la última sección.

Para esto consideremos una condición inicial como se muestra en la siguiente figura.



Con  $|\sigma(x, 0)| > 2(\nu\gamma)^{1/2}$  para  $x^-(0) < x < x^+(0)$ ,  $\sigma(x, 0) = 0$  fuera de este intervalo y con pendiente finita diferente de 0 en  $x^+(0)$  y en  $x^-(0)$ .

Veamos como se comportan los puntos  $x^+$  y  $x^-$  al transcurrir el tiempo.

Desarrollando  $\sigma(x, t)$  en serie de Taylor a primer orden alrededor de estos puntos tenemos

$$\sigma(x, t) = 2(\nu\gamma)^{\frac{1}{2}} + B(t)(x^\pm(t) - x) + O((x^\pm(t) - x)^2)$$

donde  $B(t) > 0$  para  $x^+$  y  $B(t) < 0$  para  $x^-$ , entonces

$$\sigma^2(x, t) = 4\gamma r + 4(\gamma r)^{\frac{1}{2}} B(t) (x^{\pm}(t) - x) + O((x^{\pm}(t) - x)^2)$$

$$\sigma_x = -B(t) + O(x^{\pm}(t) - x)$$

$$\left( \left( \gamma - \frac{1}{4r} \sigma^2 \right) \sigma_x \right)_x = - \left( \frac{\gamma}{r} \right)^{\frac{1}{2}} B^2(t) + O(x^{\pm}(t) - x)$$

$$\sigma_t = B(t) \dot{x}^{\pm}(t) + O(x^{\pm}(t) - x)$$

de donde obtenemos

$$\dot{x}^{\pm}(t) = - \left( \frac{\gamma}{r} \right)^{\frac{1}{2}} B(t)$$

por lo tanto los puntos  $x^+(t)$  y  $x^-(t)$  se mueven el uno hacia el otro con velocidad proporcional a la pendiente de  $\sigma$  en estos puntos.

Veamos ahora que el exceso de circulación  $\Gamma_c$  definido por

$$\Gamma_c = \int_{x^-(t)}^{x^+(t)} (\sigma(x, t) - 2(\gamma r)^{\frac{1}{2}}) dx$$

se conserva en el tiempo.

$$\sigma_t = (D(\sigma)\sigma)_x$$

de donde

$$\int_{x^-(t)}^{x^+(t)} \sigma_t dx = D(\sigma)\sigma_x \Big|_{x^-(t)}^{x^+(t)} = 0$$

de aquí obtenemos que

$$\frac{d}{dt} \Gamma_c = \frac{d}{dt} \int_{x^-(t)}^{x^+(t)} (\sigma(x,t) - 2(\nu r)^{\frac{1}{2}}) dx = \int_{x^-(t)}^{x^+(t)} \sigma_x dx +$$

$$+ [\sigma(x^+(t), t) - 2(\nu r)^{\frac{1}{2}}] \dot{x}^+(t) - [\sigma(x^-(t), t) - 2(\nu r)^{\frac{1}{2}}] \dot{x}^-(t) = 0$$

Entonces si la solución conserva la forma de la condición inicial tendremos que  $x^+ - x^-$  tiende a cero y como  $\Gamma_c$  es constante  $\sigma$  tiene que crecer.

Este argumento provee una indicación de que no puede alcanzarse un estado estacionario con vorticidad concentrada.

Por otra parte este análisis no incluye los términos dispersivos de orden más alto que toman en cuenta la longitud finita de las ondas.

Es pues de interés calcularlos para ver si es posible que el movimiento se estabilice.

En la siguiente sección se presenta un desarrollo sistemático para incluir los efectos de orden superior.

## ECUACION A SEGUNDO ORDEN

En esta sección derivamos la ecuación para  $\sigma$  incluyendo los efectos viscosos usando el desarrollo sistemático para longitudes de onda larga comparadas con la escala de la compresión.

Para buscar soluciones de onda larga necesitamos que

$$L/\sigma \ll \gamma$$

donde como antes  $\sigma$  es la densidad superficial de vorticidad,  $L$  es el espesor de la hoja de vórtices y  $\gamma$  es el ritmo de deformación. Esto es si llamamos  $\epsilon = \sigma/L\gamma$  necesitamos que  $\epsilon \ll 1$  queremos también que el flujo de vorticidad debido a la compresión sea balanceado por la difusión viscosa, esto es  $\sigma^2/\nu\gamma = O(1)$  adoptaremos una adimensionalización de la ecuación (1) con las unidades de las variables como están dadas en la siguiente tabla:

variables	$w$	$u$	$v$	$x$	$y$	$t$
unidades	$\sigma_0 (\nu/\gamma)^{1/2}$	$\sigma_0$	$\sigma_0$	$\sigma_0/\epsilon\gamma$	$(\nu/\gamma)^{1/2}$	$1/\epsilon^2\gamma$

donde  $\sigma_0$  es un valor típico de la circulación por unidad de longitud de las condiciones iniciales.

Las ecuaciones (1), (2) y (3) adimensionalizadas de esta forma quedan como sigue:

$$w_{yy} + \left(1y - \frac{\nu}{\mu}\right) w_y = \epsilon (uw)_x + \epsilon^2 (w_t - \mu^2 w_{xx}) \quad (18)$$

donde

$$u = -\frac{\epsilon\mu}{2\pi} \int_{-\infty}^{\infty} \int_{-\infty}^{\infty} \frac{(y-y')w(x',y',t)}{(x-x')^2 + \epsilon^2\mu^2(y-y')^2} dx' dy' \quad (19)$$



$$v = \frac{1}{2\pi} \int_{-\infty}^{\infty} \int_{-\infty}^{\infty} \frac{(x-x')w(x',y',t)}{(x-x')^2 + \epsilon^2 \mu^2 (y-y')^2} dx' dy' \quad (20)$$

en (18)-(20)

$$\mu^2 = \frac{\nu \gamma}{\sigma_0^2}$$

es la viscosidad adimensional, en este análisis  $\mu$  es considerada de orden uno.

Buscaremos soluciones de la ecuación (18) que representen hojas de vórtices cuya circulación por unidad de longitud

$$\sigma(x, t) = \int_{-\infty}^{\infty} w(x, y, t) dy$$

sea finita. Nuestro objetivo es determinar la ecuación de evolución para  $\sigma(x, t)$ .

Para esto construiremos una solución de la ecuación (18) como sigue

$$w = w_0 + \epsilon w_1 + \epsilon^2 w_2 + \dots$$

con un valor prescrito de  $\sigma$ . Esto no puede ser hecho para cualquier  $\sigma$ , pero sí para aquellas que cumplan una cierta ecuación de evolución

$$\sigma_t = f_\epsilon(\sigma) = f_0(\sigma) + \epsilon f_1(\sigma) + \epsilon^2 f_2(\sigma) + \dots \quad (21)$$

El primer paso es obtener desarrollos asintóticos de las integrales (19) y (20) en el límite cuando  $\epsilon$  tiende a 0.

Supondremos que  $w$  tiene una representación como una integral de Fourier

$$w = \int_{-\infty}^{\infty} \tilde{w}(k, y, t) e^{ikx} dk$$

donde

$$w^+ = \int_0^{\infty} \tilde{w}(k, y, t) e^{ikx} dk \quad y \quad w^- = \int_{-\infty}^0 \tilde{w}(k, y, t) e^{ikx} dk$$

son analíticas en el plano superior e inferior respectivamente y ambas tienden a cero cuando  $\text{Im}x$  tiende a infinito.

La ecuación (19) puede ser escrita como

$$u = - \int_{-\infty}^{\infty} \left\{ \frac{1}{2\pi} \int_{-\infty}^{\infty} \frac{\epsilon \mu (y-y') (w^+(x', y', t) + w^-(x', y', t))}{(x'-x+i\epsilon \mu |y-y'|)(x'-x-i\epsilon \mu |y-y'|)} dx' \right\} dy'$$

la integral respecto a  $x'$  tiene polos en  $x' = x \pm i\epsilon \mu |y-y'|$  calculando los residuos en los polos obtenemos:

$$u = - \frac{1}{2} \int_{-\infty}^{\infty} \text{sgn}(y-y') [w^+(x+i\epsilon \mu |y-y'|, y', t) + w^-(x-i\epsilon \mu |y-y'|, y', t)] dy'$$

Expandiendo el integrando en potencias de  $\epsilon$  obtenemos

$$u = - \frac{1}{2} \int_{-\infty}^{\infty} \left\{ \text{sgn}(y-y') [w^+(x, y', t) + w^-(x, y', t)] + i\epsilon \mu |y-y'| [w^+(x, y', t) - w^-(x, y', t)]_x - \frac{\epsilon^2 \mu^2}{2} \text{sgn}(y-y') |y-y'|^2 [w^+(x, y', t) + w^-(x, y', t)]_{xx} + \dots \right\} dy'$$

usando el hecho de que (ver apéndice 1)

$$w^+ - w^- = i \tilde{w}$$

obtenemos

$$u = -\frac{1}{2} \int_{-\infty}^{\infty} \left\{ \operatorname{sgn}(y-y') \widehat{w}(x, y', t) - \varepsilon \mu \widehat{w}_x(x, y', t) - \frac{\varepsilon^2 \mu^2}{2} \operatorname{sgn}(y-y') (y-y')^2 \widehat{w}_{xx}(x, y', t) + \dots \right\} dy' \quad (22)$$

integrando de igual forma usando residuos y desarrollando en potencias de  $\varepsilon$  obtenemos para (20):

$$v = \frac{1}{2} \int_{-\infty}^{\infty} \left\{ \widehat{w}(x, y', t) + \varepsilon \mu |y-y'| \widehat{w}_x(x, y', t) - \frac{\varepsilon^2 \mu^2}{2} (y-y')^2 \widehat{w}_{xx}(x, y', t) + \dots \right\} dy' \quad (23)$$

De las ecuaciones (18), (22) y (23) podemos determinar las ecuaciones de perturbación para las  $w_j$ .

La ecuación para  $w_0$  es:

$$w_{0yy} + \left(y - \frac{v_0}{\mu}\right) w_{0y} = 0 \quad (24)$$

donde

$$v_0 = \frac{1}{2} \int_{-\infty}^{\infty} \widehat{w}_0(x, y', t) dy' \quad (25)$$

de aquí vemos que  $v_0$  es independiente de  $y$  por lo tanto si a la ecuación (24) imponemos la condición

$$\int_{-\infty}^{\infty} w_0 dy = \sigma$$

obtenemos que

$$w_0 = \frac{\sigma}{\sqrt{2\pi}} e^{-\frac{1}{2} \left(y - \frac{v_0}{\mu}\right)^2} \quad (26)$$

con esta solución para  $w_0$  encontramos de (25) que

$$v_0 = \frac{1}{2} \hat{\sigma} \quad (27)$$

Dado que la solución a orden uno  $w_0$  es tal que

$$\int_{-\infty}^{\infty} w_0 dy = \hat{\sigma}$$

deseamos resolver a órdenes más altos para  $w_j$  con  $j > 0$  con la siguiente condición

$$\int_{-\infty}^{\infty} w_j dy = 0$$

para tener que la solución completa  $w$  cumpla que

$$\int_{-\infty}^{\infty} w dy = \hat{\sigma}$$

esto puede ser logrado solo si cierta condición de compatibilidad sobre  $\hat{\sigma}$  es satisfecha. La condición de compatibilidad se encuentra como sigue:

Tomando la ecuación (18) e integrando respecto a  $y$  de  $-\infty$  a  $\infty$ , al buscar soluciones que  $w \rightarrow 0$  si  $|y| \rightarrow \infty$  obtenemos una ecuación exacta usando la definición de  $\hat{\sigma}$ . Esta es:

$$\sigma_x + (F - u^2 \sigma_x)_x = 0$$

donde

$$F = \frac{1}{2} \int_{-\infty}^{\infty} u w dy$$

Para calcular  $F$  usamos el desarrollo propuesto para  $u$  dado

en (22), obtenemos:

$$F = \frac{\mu}{2} \int_{-\infty}^{\infty} \int_{-\infty}^{\infty} (y-y') \widehat{w}_x(x, y', t) w(x, y, t) dy dy' + \quad (29)$$

$$+ \frac{\epsilon \mu^2}{4} \int_{-\infty}^{\infty} \int_{-\infty}^{\infty} \text{sgn}(y-y') (y-y')^2 w_{xx}(x, y, t) w(x, y, t) dy dy' + \dots$$

Comparando las ecuaciones (21) y (28) vemos que  $f_e(\sigma)$  debe satisfacer

$$\hat{f}_e(\sigma) + (F - \mu^2 \sigma_x)_x = 0 \quad (30)$$

las ecuaciones para las  $f_j(\sigma)$  son obtenidas desarrollando (30) en potencias de  $\epsilon$ . De (29) y (30) encontramos que la ecuación para  $f_0(\sigma)$  es

$$\hat{f}_0(\sigma) + (F_0 - \mu^2 \sigma_x)_x = 0 \quad (31)$$

donde

$$F_0 = \frac{\mu}{2} \int_{-\infty}^{\infty} \int_{-\infty}^{\infty} (y-y') \widehat{w}_{0x}(x, y', \tau) w_0(x, y, \tau) dy dy' \quad (32)$$

Siendo que  $w_0$  es conocido en términos de  $\sigma$ ,  $F_0$  puede ser calculada explícitamente en términos de  $\sigma$ , sustituyendo (26) en (32) e integrando (ver apéndice IIIa) obtenemos:

$$F_0 = \frac{1}{4} \sigma \left( \frac{\widehat{\sigma}^2}{2} - \widehat{\sigma \sigma} \right)_x$$

descomponiendo  $\sigma$  en  $\sigma = \sigma^+ + \sigma^-$  (ver apéndice 1) y usando el hecho de que  $i\widehat{\sigma} = \sigma^+ - \sigma^-$  obtenemos

$$\sigma \widehat{\sigma} = -i(\sigma^{+2} - \sigma^{-2})$$

Usando el hecho de que por definición  $\sigma^+$  es la integral de 0 a  $\infty$  y  $\sigma^-$  es la integral de  $-\infty$  a 0 obtenemos:

$$i \widehat{\sigma \sigma} = -i(\sigma^{+2} - (-\sigma^{-2})) = -i(\sigma^{+2} + \sigma^{-2})$$

por lo tanto

$$\widehat{\sigma \sigma} = -(\sigma^{+2} - \sigma^{-2})$$

de donde obtenemos que

$$\begin{aligned} F_0 &= \frac{1}{4} \sigma \left[ -\frac{(\sigma^+ + \sigma^-)^2}{2} + (\sigma^{+2} - \sigma^{-2}) \right]_x = \frac{1}{4} \sigma \left[ \frac{1}{2} (\sigma^+ + \sigma^-)^2 \right]_x = \\ &= \frac{1}{4} \sigma \left[ \frac{1}{2} \sigma^2 \right]_x = \frac{1}{4} \sigma^2 \sigma_x \end{aligned}$$

sustituyendo este valor de  $F_0$  en (31) encontramos  $f_0(\sigma)$

$$f_0(\sigma) = \left( (\mu^2 - \frac{\sigma^2}{4}) \sigma_x \right)_x \quad (32)$$

Desarrollando  $w$  a orden  $\sigma$  y usando (29) encontramos que la ecuación para  $F_1$  es

$$\begin{aligned} F_1 &= \frac{\mu^2}{2} \int_{-\infty}^{\infty} \int_{-\infty}^{\infty} (y-y') [\widehat{w}_{0x}(x, y', t) w_1(x, y, t) + \widehat{w}_{1x}(x, y', \tau) w_0(x, y, \tau)] dy' dy + \\ &+ \frac{\mu^2}{4} \int_{-\infty}^{\infty} \int_{-\infty}^{\infty} \text{sgn}(y-y') (y-y')^2 w_{0xx}(x, y', t) w_0(x, y, \tau) dy' dy \end{aligned}$$

para conocer  $F_1(\sigma)$  necesitamos resolver la ecuación para  $w_1$ , esta es

$$w_{1,y} y + (y - \frac{y_0}{\mu}) w_{1,y} = \left( \frac{v_1}{\mu} w_0 \right)_y + (u_0 w_0)_x$$

con

$$\int_{-\infty}^{\infty} w_1 dy = 0$$

la velocidad  $v_1$  esta dada por

$$v_1 = \frac{\mu}{2} \int_{-\infty}^{\infty} |y - y'| w_{0,x}(x, y', t) dy'$$

resolviendo la ecuación para  $w_1$  y sustituyendolo junto con el de  $w_0$  en (33) encontramos que (ver apéndice IIIb)

$$F_1 = -\mu (A(\sigma^2 \hat{\sigma}_x)_x + B\sigma(\hat{\sigma}\hat{\sigma}_x)_x - C\sigma\sigma_x \hat{\sigma}_x)_x \quad (34)$$

donde A, B y C son números positivos de aquí y de (30) obtenemos que

$$f_1(\sigma) = \mu (A(\sigma^2 \hat{\sigma}_x)_x + B\sigma(\hat{\sigma}\hat{\sigma}_x)_x - C\sigma\sigma_x \hat{\sigma}_x)_x \quad (35)$$

sustituyendo las expresiones para  $f_0(\sigma)$  y  $f_1(\sigma)$  dadas por (32) y (34) en (21) obtenemos la ecuación de evolución a orden  $\epsilon$  para  $\sigma$ , esta es

$$\sigma_t = (\mu^2 - \frac{\sigma^2}{4}) \sigma_x)_x + \epsilon \mu (A(\sigma^2 \hat{\sigma}_x)_x + B\sigma(\hat{\sigma}\hat{\sigma}_x)_x - C\sigma\sigma_x \hat{\sigma}_x)_x \quad (35)$$

Cuando  $\epsilon = 0$ , es decir longitud de onda infinita la ecuación (35) se reduce a la versión adimensional de la ecuación no lineal de difusión (16). Los nuevos términos incluyen derivadas de tercer orden y una transformada de Hilbert que como veremos en la siguiente sección proveen un término estabilizante.

## ESTABILIDAD LINEAL

Estudiaremos la estabilidad lineal de la hoja de vórtices con circulación  $\sigma_0$  por unidad de longitud. Las soluciones uniformes estacionarias de la ecuación (35) son  $\sigma = \text{cte}$ . Por lo que la solución adimensional a esta ecuación correspondiente a esta hoja de vórtices es  $\sigma = 1$ . Linealizando la ecuación (35) para  $s = \sigma - 1$  obtenemos:

$$S_t = \left(\mu^2 - \frac{1}{4}\right) S_{xx} + \epsilon \mu r \hat{S}_{xxx} \quad (36)$$

donde  $r = A+B$ . La ecuación (36) tiene soluciones periódicas

$$s = e^{\alpha t} \cos(kx)$$

donde la relación de dispersión es

$$\alpha = \left(\frac{1}{4} - \mu^2\right) k^2 - \epsilon \mu r |k|^3 \quad (37)$$

de donde vemos que existen modos inestables si y solo si

$$\mu < 1/2.$$

Al escribir  $\mu$  como su valor  $(\nu\gamma)^{1/2}/\sigma_0$  vemos que este criterio de inestabilidad es el mismo que  $|\sigma| > 2 (\nu\gamma)^{1/2}$  que fue dado en la sección anterior.

Si  $\mu < 1/2$  y  $\epsilon = 0$  vemos de (37) que  $\alpha \rightarrow \infty$  cuando  $|k| \rightarrow \infty$  esta es la falla de la teoría de la sección anterior. Si  $\mu < 1/2$  y  $\epsilon$  es diferente de cero, existe solo una banda finita de números de onda inestable. Para estudiar en la vecindad de  $\mu=1/2$  tomamos

$$\mu = \frac{1}{2} - \frac{\epsilon r}{2} m$$

donde  $m > 0$  se de orden uno. Sustituyendo en (37) tenemos

$$\alpha = \frac{\epsilon r}{2} (m k^2 - |k|^3) + O(\epsilon^2)$$



la siguiente figura muestra graficas de la relación de dispersión para varios valores de  $m$

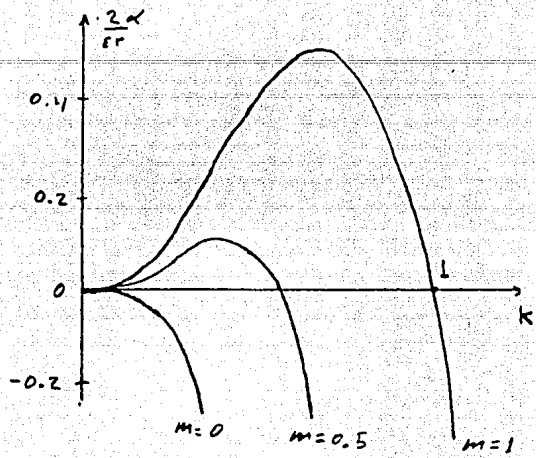


Figura 6

En el caso  $m > 0$  la banda de números de onda inestables es  $|k| < m + O(\epsilon)$ . El número de onda de máxima inestabilidad es  $k = (2/3)m$ . Resulta pues que la solución uniforme es inestable para ondas largas y estables para ondas cortas.

Una pregunta por hacerse es desde luego si las soluciones constantes inestables para  $|k| < m$  pueden estabilizarse a soluciones de amplitud finita para algún número de onda  $k$ . Si este fuera el caso tendríamos la posibilidad de que el colapso parara y se tuviera un arreglo de vortices secundarios estacionarios y de amplitud finita. En la siguiente sección estudiaremos el caso de amplitud finita.

## EFECTOS DE AMPLITUD FINITA

Para estudiar ondas de amplitud finita tomamos:

$$\sigma(x, t) = 1 + \varepsilon r S(x, t) \quad (38)$$

sustituyendo en (35) obtenemos

$$S_t = -\frac{\varepsilon r}{2} \left( (m+S) S_x - \widehat{S}_{xx} \right)_x \quad (39)$$

el escalamiento (38) es tomado para que en (39) el término no lineal y el lineal sean del mismo orden.

Soluciones estacionarias de (39) que sean acotadas cuando  $|x| \rightarrow \infty$  satisfacen

$$\widehat{S}_{xx} = (m+S) S_x \quad (40)$$

esta ecuación es similar a la de Benjamin (21) y se resuelve de la misma forma. Buscamos soluciones con media cero, por lo tanto tomamos:

$$S = \zeta - \alpha$$

donde  $\alpha$  es la media de  $\zeta(x)$ . Sustituyendo esta expresión para  $S$  en (40) obtenemos:

$$\widehat{\zeta}_{xx} = (m - \alpha + \zeta) \zeta_x$$

integrando una vez la ecuación anterior y dado que queremos soluciones acotadas tenemos:

$$\widehat{\zeta}_x = (m - \alpha) \zeta + \frac{1}{2} \zeta^2 \quad (41)$$

Buscamos soluciones  $\zeta$  de periodo  $2\pi/K$  en  $x$ . Escribiendo a  $\zeta$  por su serie de Fourier

$$\zeta = \sum_{-\infty}^{\infty} A_N e^{iKNx}$$

Derivando obtenemos: (ver apéndice II)

$$\sqrt{\zeta}_x = K \sum_{-\infty}^{\infty} |N| A_N e^{iKNx}$$

tomando

$$\zeta^2 = \sum_{-\infty}^{\infty} B_N e^{iKNx}$$

donde

$$B_N = \sum_{M=-\infty}^{\infty} A_M A_{M-N}$$

tenemos que

$$\sqrt{\zeta}_x = (m-\alpha)\zeta + \frac{1}{2}\zeta^2$$

igualando los coeficientes de Fourier de cada término, obtenemos

$$K|N|A_N = (m-\alpha)A_N + \frac{1}{2}\sum_{M=-\infty}^{\infty} A_M A_{M-N}$$

de donde

$$(-m+\alpha + K|N|)A_N = \frac{1}{2}\sum_{M=-\infty}^{\infty} A_M A_{M-N}$$

buscaremos soluciones particulares tomando  $A_n$  de la forma

$$A_N = \Delta e^{-P|N|}$$

donde  $\Delta$  y  $P$  son números reales y  $P > 0$  para justificar los pasos formales y que la serie de  $\zeta(x)$  converja

$$\begin{aligned}
\sum_{N=-\infty}^{\infty} A_N A_{N+1} &= \Delta^2 \sum_{N=-\infty}^{\infty} e^{-P(|N| - |N+1|)} = \\
&= \Delta^2 e^{-P|N|} \sum_{N=-\infty}^{\infty} e^{-P(|N| - |N+1| + |N+1|)} = \\
&= \Delta^2 e^{-P|N|} \left\{ |N| + 1 + 2 \sum_{\lambda=1}^{\infty} e^{-2P\lambda} \right\} = \\
&= \Delta^2 e^{-P|N|} \left\{ |N| + \coth P \right\}
\end{aligned}$$

por lo tanto sustituyendo este resultado, y tambien sustituyendo (43) en (42) obtenemos

$$(-m + \alpha + \kappa |N|) = \frac{1}{2} \Delta \left\{ |N| + \coth P \right\}$$

para todo número n entero. Tomando  $\Delta = 2\kappa$  obtenemos

$$(-m + \alpha + \kappa |N|) = \kappa \left\{ |N| + \coth P \right\}$$

para todo número N entero. Por lo tanto

$$\coth P = -m + \alpha$$

$\Delta$  es la media de  $\zeta$  por lo tanto tomamos  $\alpha = 2\kappa$  de donde obtenemos

$$\tanh P = \frac{1}{2\kappa - m}$$

Sustituyendo  $A_N = \Delta e^{-P|N|}$  en la serie de Fourier de  $\zeta$  obtenemos

$$\zeta = \sum_{-\infty}^{\infty} \Delta e^{-P|N|} e^{iKNx} = \sum_{-\infty}^{\infty} \Delta e^{-(P|N| - iKNx)} =$$

$$= \Delta \operatorname{Re} \left\{ 1 + 2 \sum_{N=1}^{\infty} e^{-(P+iKx)N} \right\} = \Delta \operatorname{Re} \left\{ \coth \frac{1}{2} (P+iKx) \right\}$$

de donde obtenemos

$$\zeta(x) = \frac{\frac{1}{2} \Delta \operatorname{Senh} P}{\operatorname{Cosh}^2(\frac{1}{2} P) - \operatorname{Cos}^2(\frac{1}{2} Kx)}$$

sustituyendo en esta expresión  $\Delta = 2K$  y  $P = 1/(2K-m)$  obtenemos

$$\zeta(x) = \frac{2K^2}{2K-m - ((2K-m)^2 - K^2)^{\frac{1}{2}} \operatorname{Cos} Kx}$$

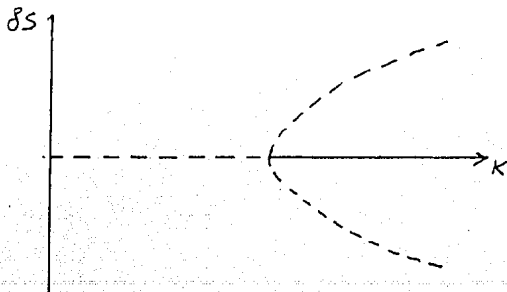
de donde

$$S(x) = \zeta(x) - \alpha = \frac{2K^2}{2K-m - ((2K-m)^2 - K^2)^{\frac{1}{2}} \operatorname{Cos} Kx} - 2K$$

donde  $k > \max(m, 0)$ . La variación de  $S(x)$  sobre un periodo es

$$\delta S = \max_{0 \leq x \leq \frac{2\pi}{K}} S(x) - \min_{0 \leq x \leq \frac{2\pi}{K}} S(x) = 4 \left( (2K-m)^2 - K^2 \right)^{\frac{1}{2}}$$

la parábola de la siguiente figura muestra  $\delta S$  como una función de  $K$  para  $m > 0$  fija.



Podemos ver la gráfica anterior como un diagrama de bifurcación. La rama de soluciones periódicas estacionarias dadas por (44) bifurcan a la solución cero en  $m = k$ . De la teoría de estabilidad lineal vimos que la solución cero es inestable para  $0 < k < m$  y estable para  $k > m$ . Esto significa que la bifurcación en  $k = m$  es subcrítica con la rama de soluciones periódicas estacionarias inestable en algún intervalo de  $k$  que comienza en  $m$ .

## EXPLOSION EN TIEMPO FINITO

En esta sección probaremos bajo la hipótesis de existencia de soluciones para condiciones iniciales suficientemente lisas que es posible que la vorticidad  $\sigma$  se vuelva infinita en tiempo infinito.

Reescalando el tiempo en la ecuación (39) tenemos

$$\sigma_t = \left( \hat{\sigma}_x - (m\sigma + \frac{1}{2}\sigma^2) \right)_{xx} \quad 0 \leq x \leq 2\pi; t \geq 0 \quad (I)$$

$$\sigma(x, 0) = F(x)$$

tomando el desarrollo de Fourier de la forma

$$\sigma(x, t) = \sum_{-\infty}^{\infty} \hat{\sigma}_n(t) e^{inx}$$

tenemos que las  $\hat{\sigma}_n$  satisfacen

$$\hat{\sigma}_n = (-|n|^3 + m n^2) \hat{\sigma}_n + \frac{1}{2} n^2 \sum_{p=-\infty}^{\infty} \hat{\sigma}_p \hat{\sigma}_{n-p} \quad (II)$$

$$\hat{\sigma}_n(0) = F_n$$

donde  $F_n$  son los coeficientes de Fourier de  $f$ .

Supondremos ahora que para

$$|F_n| \leq C \left( \frac{1}{1+|n|} \right)^s$$

cuando  $s$  es grande (II) tiene una solución local.

Veremos que es posible construir condiciones iniciales para las cuales esa solución se vuelve infinita en tiempo finito.

Para probar este resultado observamos de (II) lo

siguiente:

1) Si  $r_n$  es real también  $\sigma_n(t)$  lo es, por lo tanto  $\sigma_n = \sigma_{-n}$ . Esto se sigue del hecho de que las ecuaciones tienen coeficientes reales.

2) Si  $f_n \geq 0$  entonces  $\sigma_n(t) \geq 0$  para toda  $n$ .

Para probar esto tomamos

$$J = \{r / \sigma_r(t) < 0 \text{ para alguna } t\}$$

para cada  $r$  que pertenece a  $J$  hay  $t_r$  tal que  $t_r$  es el primer tiempo donde  $\sigma_r(t_r) = 0$ . Supondremos que  $J$  es un conjunto finito (para ver el caso general ver Bob Palais (3.1)). Se toma  $r_0$  tal que:

$$t_{r_0} = \min_{r \in J} \{t_r\}$$

de donde tenemos entonces que

$$\dot{\sigma}_{r_0}(t_{r_0}) \leq 0$$

Por otra parte

$$\dot{\sigma}_{r_0}(t_{r_0}) = \frac{1}{2} r_0^2 \sum_{p=0}^{\infty} \sigma_p(t_{r_0}) \sigma_{r_0-p}(t_{r_0}) > 0$$

ya que todos los otros coeficientes son positivos. Esto es una contradicción y de aquí se sigue que  $\sigma_n(t) \geq 0$  para todo el tiempo que la solución existe.

Con esta observación tenemos que:

$$\frac{1}{2} n^2 \sum_{p=0}^{\infty} \sigma_p \sigma_{n-p} \geq \frac{1}{2} n^2 \sum \sigma_p \sigma_{n-p}$$



donde la última suma corre sobre un subconjunto de índices. De aquí se sigue llamando

$$\alpha_n = -|n|^3 + m|n|^2$$

y escogiendo

$$f_n = \begin{cases} a_1 & |n|=1 \\ a_2 & |n|=2 \\ 0 & |n| \neq 1, |n| \neq 2 \end{cases}$$

que  $\sigma_1$  y  $\sigma_2$  satisfacen

$$\begin{aligned} \dot{\sigma}_1 &\geq \alpha_1 \sigma_1 + \frac{1}{2} \sigma_1 \sigma_2 \\ \dot{\sigma}_2 &\geq \alpha_2 \sigma_2 + 2 \sigma_1^2 \end{aligned} \quad (III)$$

$\alpha_1 > 0$  y  $\alpha_2 < 0$  si  $1 < m < 2$ . Mostraremos ahora que las soluciones del sistema (III) se vuelven infinitas en tiempo finito.

Si

$$\dot{y} = \alpha_1 y + \frac{1}{2} y w$$

$$\dot{w} = \alpha_2 w + 2y^2$$

tenemos que

$$\sigma_1 \geq y \quad \sigma_2 \geq w \quad \text{si} \quad \sigma_1(0) \geq y(0) \quad \sigma_2(0) \geq w(0)$$

En efecto si llamamos  $\Omega = 2w$  tenemos el sistema:

$$\dot{y} = \alpha_1 y + y \Omega$$

$$\dot{\Omega} = \alpha_2 \Omega + y^2$$

Si  $y(0) \geq \Omega(0) > 0$  entonces  $y(t) \geq \Omega(t)$ . Para esto basta probar que  $\dot{y}(t) \geq \dot{\Omega}(t)$  sobre la recta  $y = \Omega > 0$ .

Sobre la recta  $y = \Omega > 0$

$$\dot{y} = \alpha_2 y + y \Omega = \alpha_2 \Omega + y^2 \geq \alpha_1 \Omega + y^2 = \dot{\Omega}$$

ya que  $\alpha_1 > 0$  y  $\alpha_2 < 0$ .

Finalmente

$$\dot{\Omega} = \alpha_2 \Omega + y^2 \geq \alpha_2 \Omega + \Omega^2$$

las soluciones de esta desigualdad van a infinito cuando

$$t \rightarrow -\frac{1}{\alpha_2} \log \frac{\Omega(0)}{\Omega(0) + \alpha_2}$$

si  $\Omega(0) > -\alpha_2$ .

Esto muestra que la solución que corresponde a la condición inicial

$$\sigma(x, 0) = a_1 \cos x + a_2 \cos 2x$$

va a infinito en tiempo finito si  $a_1 > -a_2$ .

Es importante notar que el término  $|n|^3$  que viene de  $\sigma_{xxx}$  no juega ningún papel para estabilizar la solución.

## Apéndice I

En este apéndice se deducen las ecuaciones (5), (6), (7) y (8)

$$w(x, y, t) = \sigma(x, t) \delta(y - \eta(x, t))$$

sustituyendo en

$$w_t + (u w)_x + (v - \gamma y) w_y = 0$$

obtenemos

$$\sigma_t \delta - \sigma \delta' \eta_t + (u \sigma)_x \delta - u \sigma \delta' \eta_x + (v - \gamma \eta) \sigma \delta' = 0$$

de donde

$$[\sigma_t + (u \sigma)_x] \delta - [\sigma \eta_t + \sigma u \eta_x - \sigma (v - \gamma \eta)] \delta' = 0$$

Si  $\alpha \delta + \beta \delta' = 0$  entonces  $\alpha = 0$  y  $\beta = 0$

Prueba

Sean  $\varphi_1$  y  $\varphi_2$  funciones de prueba tales que

$$\varphi_1(0) = 1 \quad \varphi_1'(0) = 0$$

$$\varphi_2(0) = 0 \quad \varphi_2'(0) = -1$$

entonces

$$0 = \langle \alpha \delta + \beta \delta', \varphi_1 \rangle = \alpha \varphi_1(0) - \beta \varphi_1'(0) = \alpha$$

$$0 = \langle \alpha \delta + \beta \delta', \varphi_2 \rangle = \alpha \varphi_2(0) - \beta \varphi_2'(0) = \beta$$

de donde

$$\alpha = 0 \quad \text{y} \quad \beta = 0.$$

Por lo tanto

$$\sigma_t + (u\sigma)_x = 0 \quad (5)$$

$$\eta_t + u\eta_x - v + \gamma\eta = 0. \quad (6)$$

que son las ecuaciones (5) y (6)

Substituyendo

$$w = \sigma(x, t) \delta(y - \eta(x, t))$$

en

$$u = -\frac{1}{2\pi} \int_{-\infty}^{\infty} \int_{-\infty}^{\infty} \frac{(y-y') w(x', y', t)}{(x-x')^2 + (y-y')^2} dx' dy'$$

obtenemos

$$\begin{aligned} u &= -\frac{1}{2\pi} \int_{-\infty}^{\infty} \int_{-\infty}^{\infty} \frac{(y-y') \delta(y' - \eta(x', t))}{(x-x')^2 + (y-y')^2} \sigma(x', t) dx' dy' = \\ &= \frac{1}{2\pi} \int_{-\infty}^{\infty} \frac{(y - \eta(x', t)) \sigma(x', t)}{(x-x')^2 + (y - \eta(x', t))^2} dx' \end{aligned}$$

evaluando en  $y = \eta(x, t)$  obtenemos

$$u = -\frac{1}{2\pi} \int_{-\infty}^{\infty} \frac{\eta(x, t) - \eta(x', t)}{(x-x')^2 + (\eta(x, t) - \eta(x', t))^2} \sigma(x', t) dx' \quad (7)$$

donde la última integral en general tiene sentido solo en el sentido del valor principal de Cauchy.

De igual forma se obtiene

$$V = \frac{1}{2\pi} \int_{-\infty}^{\infty} \frac{x-x'}{(x-x')^2 + (\eta(x, z) - \eta(x', z))^2} \sigma(x', z) dz'$$

donde nuevamente esta integral tiene sentido en general solo en el sentido del valor principal de Cauchy.

## Apéndice II

En este apéndice se estudian las propiedades más importantes de la transformada de Hilbert.

La transformada de Hilbert de una función  $F(x)$  se define como

$$\hat{F}(x) = \frac{1}{\pi} P \int_{-\infty}^{\infty} \frac{F(x')}{x-x'} dx'$$

donde la  $P$  denota el valor principal de Cauchy en los límites de integración y en la discontinuidad  $x'=x$ .

Ejemplos:

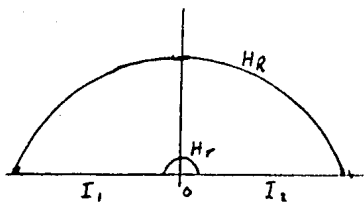
1) Si:  $F(x) = C$  (constante)

$$\hat{F}(x) = \frac{1}{\pi} P \int_{-\infty}^{\infty} \frac{C}{x-x'} dx' = 0$$

2) Si:  $F_1(x) = \cos x$  y  $F_2(x) = \sin x$

$$\begin{aligned} \hat{F}_1(x) + i \hat{F}_2(x) &= \frac{1}{\pi} P \int_{-\infty}^{\infty} \frac{\cos x' + i \sin x'}{x-x'} dx' = \frac{1}{\pi} P \int_{-\infty}^{\infty} \frac{e^{ix'}}{x-x'} dx' = \\ & \qquad \qquad \qquad z = x'-x \\ &= -\frac{1}{\pi} P \int_{-\infty}^{\infty} \frac{e^{i(z+x)}}{z} dz = -e^{ix} \frac{1}{\pi} P \int_{-\infty}^{\infty} \frac{e^{iz}}{z} dz \end{aligned}$$

la última integral puede ser evaluada usando residuos



$$\int_{H_R} \frac{e^{iz}}{z} dz + \int_{H_r} \frac{e^{iz}}{z} dz + \int_{I_1} \frac{e^{iz}}{z} dz + \int_{I_2} \frac{e^{iz}}{z} dz = 0$$

la primera integral tiende a cero cuando  $R \rightarrow \infty$  por el lema de Jordan.

$$\int_{H_r} \frac{e^{iz}}{z} dz = i \int_{\pi}^0 e^{ir(\cos\theta + i\sin\theta)} d\theta = -i \int_0^{\pi} e^{-r\sin\theta} e^{ir\cos\theta} d\theta =$$
$$= -i\pi$$

ya que el último integrando tiende uniformemente a uno.

De donde

$$P \int_{-\infty}^{\infty} \frac{e^{ix}}{x} dx = i\pi.$$

Por lo tanto

$$\widehat{F}_1(x) + i\widehat{F}_2(x) = -i e^{ix}$$

igualando las partes reales y las partes imaginarias obtenemos

$$\widehat{F}_1(x) = \operatorname{Sen} x \quad \text{y} \quad \widehat{F}_2(x) = -\operatorname{Cos} x$$

3)

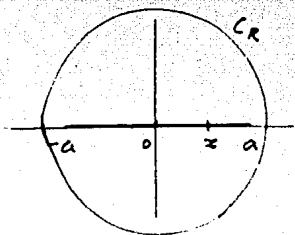
$$f(x) = \begin{cases} (a^2 - x^2)^{\frac{1}{2}} & \text{si } |x| \leq a \\ 0 & \text{si } |x| > a \end{cases}$$

$$\widehat{F}(x) = \frac{1}{\pi} P \int_{-a}^a \frac{(a^2 - x'^2)^{\frac{1}{2}}}{x - x'} dx'$$

Si  $|x| < a$

$$\int_{-a}^a \frac{(a^2 - x'^2)^{\frac{1}{2}}}{x - x'} dx' = \frac{1}{2} \int_{C_R} \frac{(a^2 - z^2)^{\frac{1}{2}}}{x - z} dz$$

donde  $C_R$  se muestra en la siguiente Figura



donde tenemos la raíz cuadrada dada por el corte rama entre  $-a$  y  $a$ . Si  $z \in C_R$

$$\frac{1}{z - z} = -\frac{1}{z} \frac{1}{1 - \frac{z}{z}} = -\frac{1}{z} \left(1 + \frac{z}{z}\right) + O\left(\frac{1}{R^2}\right)$$

$$(a^2 - z^2)^{\frac{1}{2}} = (-z^2)^{\frac{1}{2}} \left(1 - \frac{a^2}{z^2}\right)^{\frac{1}{2}} = iz \left(1 - \frac{1}{2} \frac{a^2}{z^2}\right) + O\left(\frac{1}{R^2}\right)$$

de donde

$$\frac{(a^2 - z^2)^{\frac{1}{2}}}{x - z} = -i \left\{1 + \frac{x}{z} - \frac{1}{2} \frac{a^2}{z^2}\right\} + O\left(\frac{1}{R^2}\right)$$

de donde obtenemos que

$$\int_{C_R} \frac{(a^2 - z^2)^{\frac{1}{2}}}{x - z} dz = 2\pi x + O\left(\frac{1}{R}\right)$$



cuando  $R \rightarrow \infty$  obtenemos

$$\frac{1}{\pi} P \int_{-a}^a \frac{(a^2 - x'^2)^{\frac{1}{2}}}{x - x'} dx' = x$$

Si  $|x| > a$  hay que tomar en cuenta el residuo en el polo  $x$  el cual es

$$i(x^2 - a^2)^{\frac{1}{2}} \quad \text{si } x > a$$

$$-i(x^2 - a^2)^{\frac{1}{2}} \quad \text{si } x < -a$$

de donde obtenemos

$$\frac{1}{\pi} P \int_{-a}^a \frac{(a^2 - x'^2)^{\frac{1}{2}}}{x - x'} dx' = \begin{cases} x - (x^2 - a^2)^{\frac{1}{2}} & \text{si } x > a \\ x & \text{si } |x| \leq a \\ x + (x^2 - a^2)^{\frac{1}{2}} & \text{si } x < -a \end{cases}$$

Por lo tanto

$$\hat{F}(x) = \begin{cases} x - (x^2 - a^2)^{\frac{1}{2}} & \text{si } x > a \\ x & \text{si } |x| \leq a \\ x + (x^2 - a^2)^{\frac{1}{2}} & \text{si } x < -a \end{cases}$$

Propiedades.

1.-

$$\hat{F}' = \hat{F}'$$

Prueba

$$\hat{f}' = \frac{1}{dx} \frac{1}{\pi} P \int_{-\infty}^{\infty} \frac{f(x')}{x-x'} dx' = \frac{1}{\pi} P \int_{-\infty}^{\infty} - \frac{f(x')}{(x-x')^2} dx'$$

integrando por partes

$$\hat{f}' = \frac{1}{\pi} P \int_{-\infty}^{\infty} \frac{f'(x')}{x-x'} dx' = \hat{f}'$$

2a.- Si  $f$  puede ser representada por una integral de Fourier

$$f(x) = \int_{-\infty}^{\infty} F(k) e^{ikx} dk$$

y llamamos

$$f^+ = \int_0^{\infty} F(k) e^{ikx} dk \quad \text{y} \quad f^- = \int_{-\infty}^0 F(k) e^{ikx} dk$$

entonces

$$\hat{f} = -i(f^+ - f^-)$$

Prueba

$$\hat{f} = \frac{1}{\pi} P \int_{-\infty}^{\infty} \frac{1}{x-x'} \left\{ \int_0^{\infty} F(k) e^{ikx'} dk + \int_{-\infty}^0 F(k) e^{ikx'} dk \right\} dx'$$

calculando las integrales obtenemos

$$\frac{1}{\pi} P \int_{-\infty}^{\infty} \int_0^{\infty} \frac{F(k) e^{ikx'}}{x-x'} dk dx' = \frac{1}{\pi} \int_0^{\infty} F(k) P \int_{-\infty}^{\infty} \frac{e^{ikx'}}{x-x'} dx' dk =$$

$$= -\frac{1}{\pi} \int_0^{\infty} F(k) P \int_{-\infty}^{\infty} \frac{e^{i k(z+x)}}{z} dz dk = -\frac{1}{\pi} \int_0^{\infty} F(k) e^{i k x} P \int_{-\infty}^{\infty} \frac{e^{i k z}}{z} dz =$$

$$z = x - x'$$

$$= -i \int_0^{\infty} F(k) e^{i k x} dk$$

la última integral respecto a  $z$  fue calculada en el ejemplo (2) de este apéndice. De igual forma se obtiene

$$\frac{1}{\pi} P \int_{-\infty}^{\infty} \int_{-\infty}^0 \frac{F(k) e^{i k x'}}{x - x'} dk dx' = i \int_{-\infty}^0 F(k) e^{i k x} dk$$

de donde obtenemos

$$\hat{F} = -i \left\{ \int_0^{\infty} F(k) e^{i k x} dk - \int_{-\infty}^0 F(k) e^{i k x} dk \right\}$$

por lo tanto

$$\hat{F} = -i (F^+ - F^-)$$

2b.- Si  $F$  es periódica de periodo  $2\pi/k$

$$f(x) = \sum_{-\infty}^{\infty} f_n e^{i k n x}$$

y llamemos

$$F^+ = \sum_1^{\infty} f_n e^{i k n x} \quad y \quad F^- = \sum_{-\infty}^{-1} f_n e^{i k n x}$$

entonces

$$\hat{F} = -i (F^+ - F^-)$$

Prueba

$$\hat{F} = \frac{1}{\pi} P \int_{-\infty}^{\infty} \frac{1}{x - x'} \left\{ \sum_1^{\infty} f_n e^{i k n x'} + \sum_{-\infty}^{-1} f_n e^{i k n x'} \right\} dx'$$

(La transformada de Hilbert de  $f_0$  es cero)

$$\begin{aligned} \frac{1}{\pi} P \int_{-\infty}^{\infty} \frac{1}{x-x'} \sum_1^{\infty} F_n e^{iknx'} dx' &= \sum_1^{\infty} F_n \frac{1}{\pi} P \int_{-\infty}^{\infty} \frac{e^{iknx'}}{x-x'} dx' = \\ &= - \sum_1^{\infty} F_n \frac{1}{\pi} P \int_{-\infty}^{\infty} \frac{e^{ikn(z+x)}}{z} dz = - \sum_1^{\infty} F_n e^{iknz} \frac{1}{\pi} P \int_{-\infty}^{\infty} \frac{e^{iknz}}{z} dz = \\ &= -i \sum_1^{\infty} F_n e^{iknz} \end{aligned}$$

De igual forma se obtiene

$$\frac{1}{\pi} P \int_{-\infty}^{\infty} \frac{1}{x-x'} \sum_{-1}^{-\infty} F_n e^{iknx'} dx' = i \sum_{-1}^{-\infty} F_n e^{iknz}$$

de donde

$$\hat{f} = -i(f^+ - f^-)$$

$$3.- \quad \hat{\hat{f}} = -f$$

Prueba

descomponiendo  $f$  en  $f = f^+ + f^-$

(como transformada o como serie de Fourier segun el caso)

$$\hat{f} = -i(f^+ + f^-)$$

aplicando la transformada de Hilbert por separado a  $f^+$  y  $f^-$  como en la propiedad 2 obtenemos

$$\hat{\hat{f}} = -i(-if^+ - if^-) = -(f^+ + f^-) = -f$$

4.- Si  $f$  es de periodo  $\frac{2\pi}{K}$  y  $f = \sum_{-\infty}^{\infty} F_n e^{iKnz}$

entonces  $\hat{f}_x = K \sum_{-\infty}^{\infty} |n| F_n e^{iKnz}$

Prueba  $\hat{f} = -i(f^+ - f^-) = -i \sum_{-\infty}^{\infty} \text{sgn}(n) F_n e^{iKnz}$

Si la última serie y la serie de las derivadas término a término son uniformemente convergentes tenemos

$$\hat{f}_x = -i \sum_{-\infty}^{\infty} iKn \text{sgn}(n) F_n e^{iKnz} = K \sum_{-\infty}^{\infty} |n| F_n e^{iKnz}$$

5.- Si  $f$  es de periodo  $\frac{2\pi}{K}$

$$\int_0^{\frac{2\pi}{K}} f f_x dx = - \int_0^{\frac{2\pi}{K}} f_x f dx$$

Prueba

integración por partes y la contribución de los límites de integración se cancelan por la periodicidad.

### Apéndice III

a)

$$F_0 = \frac{\mu}{2} \int_{-\infty}^{\infty} \int_{-\infty}^{\infty} (y-y') \widehat{w}_{0x}(x, y', t) w_0(x, y, t) dy' dy$$

$$\text{donde } w_0 = \frac{\sigma(x, t)}{\sqrt{2\pi}} e^{-\frac{1}{2}(y - \frac{\hat{\sigma}(x, t)}{2\mu})^2}$$

$$F_0 = \frac{\mu}{2} \int_{-\infty}^{\infty} \widehat{w}_{0x}(x, y', t) \int_{-\infty}^{\infty} (y-y') w_0(x, y, t) dy dy'$$

$$\int_{-\infty}^{\infty} (y-y') w_0(x, y, t) dy = \frac{\sigma}{\sqrt{2\pi}} \int_{-\infty}^{\infty} (y-y') e^{-\frac{1}{2}(y - \frac{\hat{\sigma}}{2\mu})^2} dy = \int_{-\infty}^{\infty} (z + \frac{\hat{\sigma}}{2\mu} - y') e^{-\frac{1}{2}z^2} dz = \frac{\sigma}{\sqrt{2\pi}} (\frac{\hat{\sigma}}{2\mu} - y') \int_{-\infty}^{\infty} e^{-\frac{1}{2}z^2} dz = \sigma (\frac{\hat{\sigma}}{2\mu} - y')$$

$$= \frac{\sigma}{\sqrt{2\pi}} \int_{-\infty}^{\infty} (z + \frac{\hat{\sigma}}{2\mu} - y') e^{-\frac{1}{2}z^2} dz = \frac{\sigma}{\sqrt{2\pi}} (\frac{\hat{\sigma}}{2\mu} - y') \int_{-\infty}^{\infty} e^{-\frac{1}{2}z^2} dz = \sigma (\frac{\hat{\sigma}}{2\mu} - y')$$

$$\text{de donde } F_0 = \frac{\mu}{2} \sigma \int_{-\infty}^{\infty} (\frac{\hat{\sigma}}{2\mu} - y') \widehat{w}_{0x}(x, y', t) dy'$$

$$F_0 = \frac{\mu}{2} \sigma \int_{-\infty}^{\infty} (\frac{\hat{\sigma}}{2\mu} - y') \frac{d}{dx} \left\{ \frac{1}{\pi} \int_{-\infty}^{\infty} \frac{\sigma(x', t)}{\sqrt{2\pi}(x-x')} e^{-\frac{1}{2}(y' - \frac{\hat{\sigma}(x', t)}{2\mu})^2} dx' \right\} dy'$$

$$\int_{-\infty}^{\infty} \frac{\hat{\sigma}(x, t)}{2\mu} \frac{d}{dx} \left\{ \frac{1}{\pi} \int_{-\infty}^{\infty} \frac{\sigma(x', t)}{\sqrt{2\pi}(x-x')} e^{-\frac{1}{2}(y' - \frac{\hat{\sigma}(x', t)}{2\mu})^2} dx' \right\} dy' =$$

$$= \frac{\hat{\sigma}(x, t)}{2\mu} \frac{d}{dx} \frac{1}{\pi} \int_{-\infty}^{\infty} \left\{ \int_{-\infty}^{\infty} \frac{\sigma(x', t)}{\sqrt{2\pi}(x-x')} e^{-\frac{1}{2}(y' - \frac{\hat{\sigma}(x', t)}{2\mu})^2} dy' \right\} dx' =$$

$$= \frac{\hat{\sigma}(x, t)}{2\mu} \frac{d}{dx} \left\{ \frac{1}{\pi} \int_{-\infty}^{\infty} \frac{\sigma(x', t)}{x-x'} dx' \right\} = \frac{\hat{\sigma}(x, t)}{2\mu} \frac{d}{dx} \left\{ \hat{\sigma}(x, t) \right\} =$$

$$= \frac{1}{2\mu} \left( \frac{\hat{\sigma}^2}{2} \right)_x$$

$$\begin{aligned}
 & \int_{-\infty}^{\infty} (-y') \frac{d}{dx} \left\{ \frac{1}{\pi} \int_{-\infty}^{\infty} \frac{\sigma(x', t)}{\sqrt{2\pi}(x-x')} e^{-\frac{1}{2}(y' - \frac{\sigma(x', t)}{2\mu})^2} dx' \right\} dy' = \\
 & = \frac{d}{dx} \frac{1}{\pi} \int_{-\infty}^{\infty} \frac{\sigma(x', t)}{\sqrt{2\pi}(x-x')} \left\{ \int_{-\infty}^{\infty} (-y') e^{-\frac{1}{2}(y' - \frac{\sigma(x', t)}{2\mu})^2} dy' \right\} dx' = \\
 & = \frac{d}{dx} \frac{1}{\pi} \int_{-\infty}^{\infty} -\frac{\sigma(x', t)}{\sqrt{2\pi}(x-x')} \left\{ \frac{\hat{\sigma}(x', t)}{2\mu} \sqrt{2\pi} \right\} dx' = -\frac{1}{2\mu} \frac{d}{dx} \frac{1}{\pi} \int_{-\infty}^{\infty} \frac{\sigma(x', t) \hat{\sigma}(x', t)}{x-x'} dx' = \\
 & = -\frac{1}{2\mu} (\widehat{\sigma\hat{\sigma}})_x
 \end{aligned}$$

por lo tanto

$$F_0 = \frac{\mu}{2} \sigma \left( \frac{1}{2\mu} \left( \frac{\hat{\sigma}^2}{2} \right)_x - \frac{1}{2\mu} (\widehat{\sigma\hat{\sigma}})_x \right) = \frac{1}{4} \sigma \left( \frac{\hat{\sigma}^2}{2} - \widehat{\sigma\hat{\sigma}} \right)_x$$

$$\begin{aligned}
 \text{b)} \quad F_1 &= \frac{\mu}{2} \int_{-\infty}^{\infty} \int_{-\infty}^{\infty} (y-y') [\hat{w}_{0x}(x, y', \tau) w_1(x, y, t) + \hat{w}_{1x}(x, y', \tau) w_0(x, y, t)] dy' dy + \\
 &+ \frac{\mu^2}{4} \int_{-\infty}^{\infty} \int_{-\infty}^{\infty} \text{Sgn}(y-y') (y-y')^2 w_{0xx}(x, y', \tau) w_0(x, y, t) dy' dy
 \end{aligned}$$

Para calcular  $F_1$  necesitamos conocer  $w_1$ , la ecuación para  $w_1$  es

$$w_{1yy} + \left( (y - \frac{v_0}{\mu}) w_1 \right)_y = \left( \frac{v_1}{\mu} w_0 \right)_y + (u_0 w_0)_x \quad \text{con} \quad \int_{-\infty}^{\infty} w_1 dy = 0$$

donde

$$v_1 = \frac{1}{2} \int_{-\infty}^{\infty} \hat{w}_1(x, y', \tau) dy' + \frac{\mu}{2} \int_{-\infty}^{\infty} |y-y'| w_{0x}(x, y', \tau) dy'$$

$$\int_{-\infty}^{\infty} \widehat{w}_1(x, y', t) dy' = 0$$

de donde

$$v_1 = \frac{\mu}{2} \int_{-\infty}^{\infty} |y-y'| w_{0x}(x, y', t) dy'$$

$$v_0 = \frac{\widehat{\sigma}}{2}$$

$$\int_{-\infty}^{\infty} (u_0 w_0)_x dy = 0$$

por lo tanto este último término no entra en el análisis. Integrando una vez la ecuación para  $w_1$  esta puede ser escrita como

$$w_{1y} + (y - \frac{\widehat{\sigma}}{2\mu}) w_1 = \frac{v_1}{\mu} w_0 \quad \int_{-\infty}^{\infty} w_1 dy = 0$$

$$(e^{\frac{i}{2}(y - \frac{\widehat{\sigma}}{2\mu})^2} w_1)_y = \frac{\sigma}{\sqrt{2\pi}} \frac{v_1}{\mu}$$

$$\frac{v_1}{\mu} = \frac{1}{2} \int_{-\infty}^{\infty} |y-y'| w_{0x}(x, y', t) dy' = \frac{d}{dx} \frac{1}{2} \int_{-\infty}^{\infty} |y-y'| w_0(x, y', t) dy' =$$

$$= \frac{d}{dx} \frac{1}{2} \frac{\sigma}{\sqrt{2\pi}} \int_{-\infty}^{\infty} |y-y'| e^{-\frac{i}{2}(y - \frac{\widehat{\sigma}}{2\mu})^2} dy' = \frac{d}{dx} \frac{1}{2} \frac{\sigma}{\sqrt{2\pi}} \int_{-\infty}^{\infty} |\lambda - (y - \frac{\widehat{\sigma}}{2\mu})| e^{-\frac{i}{2}\lambda^2} d\lambda =$$

$$= \frac{d}{dx} \frac{1}{2} \frac{\sigma}{\sqrt{2\pi}} (y - \frac{\widehat{\sigma}}{2\mu}) \left\{ \int_{-\infty}^{y - \frac{\widehat{\sigma}}{2\mu}} e^{-\frac{i}{2}\lambda^2} d\lambda - \int_{y - \frac{\widehat{\sigma}}{2\mu}}^{\infty} e^{-\frac{i}{2}\lambda^2} d\lambda \right\} = \frac{d}{dx} \frac{1}{2} \frac{\sigma}{\sqrt{2\pi}} (y - \frac{\widehat{\sigma}}{2\mu}) \left( e^{-\frac{i}{2}\lambda^2} \right)_{-\infty}^{y - \frac{\widehat{\sigma}}{2\mu}} - (y - \frac{\widehat{\sigma}}{2\mu})$$

por lo tanto



$$\frac{v_1}{\mu} = \frac{d}{dx} \frac{1}{2} \frac{\sigma}{\sqrt{\pi}} g\left(y - \frac{\sigma}{2\mu}\right)$$

donde

$$g(\xi) = \xi \int_{-\xi}^{\xi} e^{-\frac{1}{2}\lambda^2} d\lambda$$

$$w_1 = e^{-\frac{1}{2}\left(y - \frac{\sigma}{2\mu}\right)^2} \left\{ \int_{-\infty}^y \frac{\sigma}{\sqrt{2\pi}} \frac{v_1(x, y, t)}{\mu} d\xi + c_1 \right\}$$

donde

$$c_1 = -\frac{1}{\sqrt{2\pi}} \int_{-\infty}^{\infty} e^{-\frac{1}{2}\lambda^2} \int_{-\infty}^{\lambda} g(\xi) d\xi d\lambda$$

se escoge así para que

$$\int_{-\infty}^{\infty} w_1 dy = 0.$$

$$\int_{-\infty}^{\infty} \int_{-\infty}^{\infty} (y-y') \widehat{w}_{0,x}(x, y', t) w_1(x, y, t) dy' dy =$$

$$= \int_{-\infty}^{\infty} \int_{-\infty}^{\infty} (y-y') e^{-\frac{1}{2}\left(y - \frac{\sigma}{2\mu}\right)^2} \widehat{w}_{0,x}(x, y', t) e^{\frac{1}{2}\left(y - \frac{\sigma}{2\mu}\right)^2} w_1(x, y, t) dy' dy =$$

$$= \int_{-\infty}^{\infty} \widehat{w}_{0,x}(x, y', t) \left\{ \int_{-\infty}^{\infty} (y-y') e^{-\frac{1}{2}\left(y - \frac{\sigma}{2\mu}\right)^2} \left( e^{\frac{1}{2}\left(y - \frac{\sigma}{2\mu}\right)^2} w_1(x, y, t) \right) dy \right\} dy' =$$

$$= \int_{-\infty}^{\infty} \widehat{w}_{0,x}(x, y', t) \left\{ \int_{-\infty}^{\infty} \left[ e^{-\frac{1}{2}\left(y - \frac{\sigma}{2\mu}\right)^2} + \left(y' - \frac{\sigma}{2\mu}\right) \int_{-\infty}^{y - \frac{\sigma}{2\mu}} e^{-\frac{1}{2}\xi^2} d\xi \right] \left( e^{\frac{1}{2}\left(y - \frac{\sigma}{2\mu}\right)^2} w_1(x, y, t) \right) dy \right\} dy' =$$

$$= \int_{-\infty}^{\infty} \widehat{w}_{0,x}(x, y', t) \left\{ \int_{-\infty}^{\infty} \left[ e^{-\frac{1}{2}\left(y - \frac{\sigma}{2\mu}\right)^2} + \left(y' - \frac{\sigma}{2\mu}\right) \int_{-\infty}^{y - \frac{\sigma}{2\mu}} e^{-\frac{1}{2}\xi^2} d\xi \right] \left( \frac{\sigma}{\sqrt{2\pi}} \frac{d}{dx} \frac{1}{2} \frac{\sigma}{\sqrt{2\pi}} g\left(y - \frac{\sigma}{2\mu}\right) dy \right) dy \right\} dy' =$$

$$= \int_{-\infty}^{\infty} \widehat{w}_{0x}(x, y', t) \left\{ \int_{-\infty}^{\infty} \left[ e^{-\frac{1}{2}\xi^2} + (y' - \frac{\widehat{\sigma}}{2\mu}) \int_{-\infty}^{\xi} e^{-\frac{1}{2}\xi^2} d\xi \right] \left( \frac{\sigma}{\sqrt{2\pi}} \frac{d}{dx} \frac{1}{2} \frac{\sigma}{\sqrt{2\pi}} g(\xi) \right) d\xi \right\} dy' =$$

$\xi = y - \frac{\widehat{\sigma}}{2\mu}$

$$= \frac{\sigma \widehat{\sigma}_x}{4\pi} \int_{-\infty}^{\infty} \widehat{w}_{0x}(x, y', t) \left\{ \int_{-\infty}^{\infty} \left[ e^{-\frac{1}{2}\xi^2} + (y' - \frac{\widehat{\sigma}}{2\mu}) \int_{-\infty}^{\xi} e^{-\frac{1}{2}\xi^2} d\xi \right] g(\xi) d\xi \right\} dy' =$$

$$= \kappa_1 \frac{\sigma \widehat{\sigma}_x}{4\pi} \int_{-\infty}^{\infty} \widehat{w}_{0x}(x, y', t) dy' + \kappa_2 \frac{\sigma \widehat{\sigma}_x}{4\pi} \int_{-\infty}^{\infty} \widehat{w}_{0x}(x, y', t) (y' - \frac{\widehat{\sigma}}{2\mu}) dy' =$$

$$= \kappa_1 \frac{\sigma \widehat{\sigma}_x}{4\pi} \int_{-\infty}^{\infty} \widehat{w}_{0x}(x, y', t) dy'$$

ya que  $\int_{-\infty}^{\infty} \widehat{w}_{0x}(x, y', t) (y' - \frac{\widehat{\sigma}}{2\mu}) dy' = 0$

$\kappa_1 = \int_{-\infty}^{\infty} e^{-\frac{1}{2}\xi^2} g(\xi) d\xi$

$$\kappa_1 \frac{\sigma \widehat{\sigma}_x}{4\pi} \int_{-\infty}^{\infty} \widehat{w}_{0x}(x, y', t) dy' = \kappa_1 \frac{\sigma \widehat{\sigma}_x}{4\pi} \frac{d}{dx} \int_{-\infty}^{\infty} \frac{1}{\pi} \int_{-\infty}^{\infty} \frac{\sigma(x', t)}{\sqrt{2\pi}(x-x')} e^{-\frac{1}{2}(y' - \frac{\widehat{\sigma}(x', t)}{2\mu})^2} dx' dy' =$$

$$= \kappa_1 \frac{\sigma \widehat{\sigma}_x}{4\pi} \frac{d}{dx} \frac{1}{\pi} \int_{-\infty}^{\infty} \frac{\sigma(x', t)}{\sqrt{2\pi}(x-x')} \int_{-\infty}^{\infty} e^{-\frac{1}{2}(y' - \frac{\widehat{\sigma}(x', t)}{2\mu})^2} dy' dx' =$$

$$= \kappa_1 \frac{\sigma \widehat{\sigma}_x}{4\pi} \frac{d}{dx} \frac{1}{\pi} \int_{-\infty}^{\infty} \frac{\sigma(x', t)}{x-x'} dx' = \frac{\kappa_1}{4\pi} \sigma \widehat{\sigma}_x \widehat{\sigma}_x.$$

$$\int_{-\infty}^{\infty} \int_{-\infty}^{\infty} (y-y') \widehat{w}_{1x}(x, y', t) \widehat{w}_0(x, y, t) dy' dy =$$

$$= \int_{-\infty}^{\infty} \widehat{w}_x(x, y'; t) \int_{-\infty}^{\infty} (y - y') w_0(x, y, t) dy dy'$$

$$\int_{-\infty}^{\infty} (y - y') w_0(x, y, t) dy = \sigma \left( \frac{\sigma}{2\mu} - y' \right) \quad (\text{Appendix III a)}$$

$$\int_{-\infty}^{\infty} \left( \frac{\sigma \sigma}{2\mu} - y' \sigma \right) \widehat{w}_x(x, y'; t) dy' = -\sigma \int_{-\infty}^{\infty} y' \widehat{w}_x(x, y'; t) dy'$$

ya q.e  $\int_{-\infty}^{\infty} w_1 dy = 0$

$$-\sigma \int_{-\infty}^{\infty} y' \widehat{w}_x(x, y'; t) dy' = -\sigma \frac{d}{dx} \int_{-\infty}^{\infty} y' \widehat{w}_1(x, y'; t) dy' =$$

$$= -\sigma \frac{d}{dx} \int_{-\infty}^{\infty} y' \frac{1}{\pi} \int_{-\infty}^{\infty} \frac{w_1(x', y', t)}{x - x'} dx' dy' = -\sigma \frac{d}{dx} \frac{1}{\pi} \int_{-\infty}^{\infty} \frac{1}{x - x'} \int_{-\infty}^{\infty} y' w_1(x', y', t) dy' dx'$$

$$\int_{-\infty}^{\infty} y' w_1(x', y', t) dy' = \int_{-\infty}^{\infty} \left( y' - \frac{\sigma}{2\mu} + \frac{\sigma}{2\mu} \right) w_1(x', y', t) dy' =$$

$$= \int_{-\infty}^{\infty} \left( y' - \frac{\sigma}{2\mu} \right) w_1(x', y', t) dy' =$$

$$= \int_{-\infty}^{\infty} \left( y' - \frac{\sigma}{2\mu} \right) e^{-\frac{1}{2} \left( y' - \frac{\sigma}{2\mu} \right)^2} \left\{ \int_{-\infty}^{y'} \frac{\sigma}{\sqrt{2\pi}} \frac{d}{dx} \frac{1}{2} \frac{\sigma}{\sqrt{2\pi}} g\left(\xi - \frac{\sigma}{2\mu}\right) d\xi + c_1 \right\} dy' =$$

$$= \int_{-\infty}^{\infty} \left( y' - \frac{\sigma}{2\mu} \right) e^{-\frac{1}{2} \left( y' - \frac{\sigma}{2\mu} \right)^2} \left\{ \int_{-\infty}^{y' - \frac{\sigma}{2\mu}} \frac{\sigma}{\sqrt{2\pi}} \frac{d}{dx} \frac{1}{2} \frac{\sigma}{\sqrt{2\pi}} g(\xi) d\xi + c_1 \right\} dy' =$$

$\xi = \zeta - \frac{\sigma}{2\mu}$   
 $\lambda = y' - \frac{\sigma}{2\mu}$

$$= \int_{-\infty}^{\infty} \lambda e^{-\frac{1}{2} \lambda^2} \left\{ \int_{-\infty}^{\lambda} \frac{\sigma \sigma x}{4\pi} g(\xi) d\xi + c_1 \right\} d\lambda =$$

$$= \frac{\sigma \widehat{\sigma}_x}{4\pi} \int_{-\infty}^{\infty} \lambda e^{-\frac{1}{2}\lambda^2} \left\{ \int_{-\infty}^{\lambda} g(\xi) d\xi + c \right\} d\lambda = \frac{\kappa_3}{4\pi} \sigma \widehat{\sigma}_x$$

donde

$$\kappa_3 = \int_{-\infty}^{\infty} \lambda e^{-\frac{1}{2}\lambda^2} \left\{ \int_{-\infty}^{\lambda} g(\xi) d\xi + c \right\} d\lambda$$

por lo tanto

$$\begin{aligned} -\sigma \int_{-\infty}^{\infty} y' \widehat{w}_{1,x}(x, y', t) dy' &= -\sigma \frac{d}{dx} \frac{1}{\pi} \int_{-\infty}^{\infty} \frac{1}{x-x'} \int_{-\infty}^{\infty} y' w_1(x', y', t) dy' dx' = \\ &= -\sigma \frac{d}{dx} \frac{1}{\pi} \int_{-\infty}^{\infty} \frac{\kappa_3}{4\pi} \frac{\sigma(x', t) \widehat{\sigma}_x(x', t)}{x-x'} dx' = -\frac{\kappa_3}{4\pi} \sigma \widehat{\sigma}_x \end{aligned}$$

de donde obtenemos que

$$\int_{-\infty}^{\infty} \int_{-\infty}^{\infty} (y-y') \widehat{w}_{1,x}(x, y, t) w_0(x, y, t) dy' dy = -\frac{\kappa_3}{4\pi} \sigma \widehat{\sigma}_x$$

Finalmente calcularemos

$$\int_{-\infty}^{\infty} \int_{-\infty}^{\infty} \text{sgn}(y-y') (y-y')^2 w_{0,xx}(x, y', t) w_0(x, y, t) dy' dy$$

$$w_{0,xx} = e^{-\frac{1}{2}(y-\frac{\widehat{\sigma}}{2\mu})^2} \left\{ \frac{\sigma_{xx}}{\sqrt{2\pi}} + \frac{\sigma_x \widehat{\sigma}_x}{\mu \sqrt{2\pi}} (y-\frac{\widehat{\sigma}}{2\mu}) + \frac{\sigma}{\sqrt{2\pi}} \left[ \frac{\widehat{\sigma}_{xx}}{2\mu} (y-\frac{\widehat{\sigma}}{2\mu}) + \left( \frac{\widehat{\sigma}_x}{2\mu} \right)^2 (-1 + (y-\frac{\widehat{\sigma}}{2\mu})^2) \right] \right\}$$

por lo tanto, habrá tres tipos de integrales

$$\int_{-\infty}^{\infty} \int_{-\infty}^{\infty} \text{sgn}(y-y') (y-y')^2 \left\{ \begin{array}{l} (y-\frac{\widehat{\sigma}}{2\mu}) \\ (y-\frac{\widehat{\sigma}}{2\mu})^2 \end{array} \right\} e^{-\frac{1}{2}(y'-\frac{\widehat{\sigma}}{2\mu})^2} e^{-\frac{1}{2}(y-\frac{\widehat{\sigma}}{2\mu})^2} dy' dy =$$

sustituyendo

$$\lambda = y - \frac{\sigma}{2\mu} \quad \text{y} \quad \eta = y - \frac{\sigma}{2\mu}$$

$$= \int_{-\infty}^{\infty} \int_{-\infty}^{\infty} \text{sgn}(\eta - \lambda) (\eta - \lambda)^2 \left\{ \frac{\lambda}{\lambda^2} \right\} e^{-\frac{1}{2}\lambda^2} e^{-\frac{1}{2}\eta^2} d\lambda d\eta$$

los integrandos con  $\lambda$  y con  $\lambda^2$  son impares, por lo tanto, la única integral diferente de cero es

$$\int_{-\infty}^{\infty} \int_{-\infty}^{\infty} \text{sgn}(\eta - \lambda) (\eta - \lambda)^2 \lambda e^{-\frac{1}{2}\lambda^2} e^{-\frac{1}{2}\eta^2} d\lambda d\eta =$$

$$= \int_{-\infty}^{\infty} \left\{ - \int_{-\infty}^{\lambda} (\eta - \lambda)^2 e^{-\frac{1}{2}\eta^2} d\eta + \int_{\lambda}^{\infty} (\eta - \lambda)^2 e^{-\frac{1}{2}\eta^2} d\eta \right\} \lambda e^{-\frac{1}{2}\lambda^2} d\lambda =$$

$$= \int_{-\infty}^{\infty} \left\{ - \int_{-\infty}^{\lambda} (\eta^2 - 2\eta\lambda + \lambda^2) e^{-\frac{1}{2}\eta^2} d\eta + \int_{\lambda}^{\infty} (\eta^2 - 2\eta\lambda + \lambda^2) e^{-\frac{1}{2}\eta^2} d\eta \right\} \lambda e^{-\frac{1}{2}\lambda^2} d\lambda =$$

$$= \int_{-\infty}^{\infty} \left\{ - \int_{-\lambda}^{\lambda} (\eta^2 + \lambda^2) e^{-\frac{1}{2}\eta^2} d\eta - 4\lambda e^{-\frac{1}{2}\lambda^2} \right\} \lambda e^{-\frac{1}{2}\lambda^2} d\lambda =$$

$$= - \int_{-\infty}^{\infty} \int_{-\lambda}^{\lambda} (\eta^2 + \lambda^2) \lambda e^{-\frac{1}{2}(\eta^2 + \lambda^2)} d\eta d\lambda - 2\sqrt{\pi} =$$

$$= -2 \int_0^{\infty} \int_{-\lambda}^{\lambda} (\eta^2 + \lambda^2) \lambda e^{-\frac{1}{2}(\eta^2 + \lambda^2)} d\eta d\lambda - 2\sqrt{\pi} =$$

(Pasando a polares)

$$= -2 \int_0^{\infty} \int_{\frac{\pi}{4}}^{\frac{3\pi}{4}} r r \operatorname{sen} \theta r^2 e^{-\frac{1}{2} r^2} d\theta dr - 2\pi =$$

$$= -2\sqrt{2} \int_0^{\infty} r^4 e^{-\frac{1}{2} r^2} dr - 2\pi = -14\sqrt{\pi}$$

Por lo tanto

$$\int_{-\infty}^{\infty} \int_{-\infty}^{\infty} \operatorname{sgn}(y-y')/(y-y')^2 \omega_{0xx}(x, y', z) \omega_0(x, y, z) dy' dy =$$

$$= -14\sqrt{\pi} \frac{\sigma}{\sqrt{2\pi}} \left\{ \frac{\widehat{\sigma}_x \widehat{\sigma}_x}{\mu \sqrt{2\pi}} + \frac{\sigma \widehat{\sigma}_{xx}}{2\mu \sqrt{2\pi}} \right\} = -\frac{7\sigma}{\mu 2\sqrt{\pi}} \{ 2\widehat{\sigma}_x \widehat{\sigma}_x - \sigma \widehat{\sigma}_{xx} \} =$$

$$= -\frac{7}{\mu 2\sqrt{\pi}} \{ 2\sigma \widehat{\sigma}_x \widehat{\sigma}_x - \sigma^2 \widehat{\sigma}_{xx} \} = -\frac{7}{\mu 2\sqrt{\pi}} (\sigma^2 \widehat{\sigma}_x)_x$$

De donde obtenemos que

$$F_1 = -\mu (A(\sigma^2 \widehat{\sigma}_x)_x + B\sigma(\widehat{\sigma}_x) - C\sigma \widehat{\sigma}_x)$$

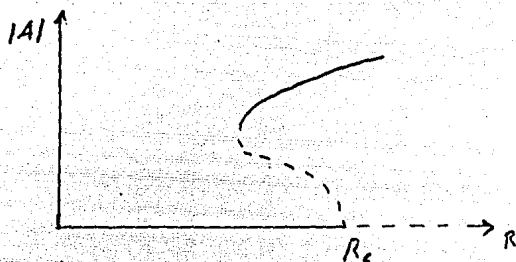
donde

$$A = \frac{7}{8\sqrt{\pi}} ; B = \frac{\kappa_3}{8\pi} \quad \text{y} \quad C = \frac{\kappa_1}{8\pi}$$

## SEGUNDA PARTE

## Introducción

En este capítulo estudiaremos la estabilidad del flujo entre dos planos paralelos conocido como flujo plano de Poiseuille, de la teoría lineal se obtiene un número de Reynolds crítico  $Re = 5780$  antes del cual el flujo es estable y después del cual el flujo es inestable. Sin embargo experimentalmente Davies y White [ ] encontraron que el flujo se volvía inestable para números de Reynolds tan bajos como 1000, también se ha visto experimentalmente que el flujo pasa a otro estado el cual es estable para un intervalo de números de Reynolds como se muestra en la figura.



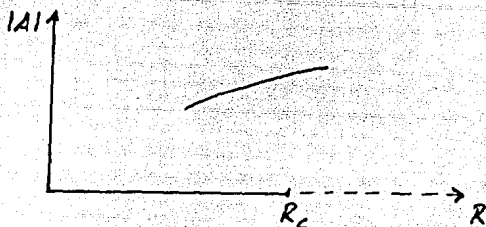
Los resultados experimentales y la analogía con problemas más sencillos sugieren completar el diagrama de bifurcación como se indica en la figura 2 donde la línea punteada indica una rama de soluciones inestables.

esta figura ha sido calculada numericamente en fecha reciente .

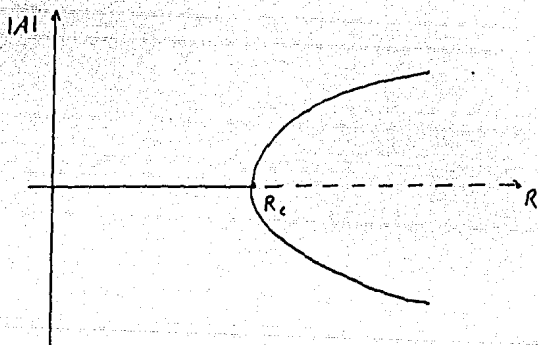
una primera pregunta es pues la de describir el diagrama de bifurcación local encontrando la ecuación de bifurcación y más



aún la evolución de las ondas de inestabilidad.



Una segunda pregunta es la de examinar la posibilidad de estabilización local obteniendo un diagrama como se indica en la figura 3.



Una posibilidad es la de poner paredes flexibles para que almacenen la energía que hace crecer la inestabilidad. En la tercera sección de este capítulo examinaremos esta situación

obteniendo el diagrama de la figura 3.

La ecuación adimensional que modela la evolución de la perturbación en términos de una función de corriente (la cual existe debido a que se supone el flujo incompresible) para el flujo con la pared superior rígida y la inferior flexible es (como veremos):

$$\frac{\partial}{\partial t} \Delta \Psi + \frac{\partial}{\partial z} \Psi \frac{\partial}{\partial x} \Delta \Psi - \frac{\partial}{\partial x} \Psi \frac{\partial}{\partial z} \Delta \Psi = \frac{1}{R} \Delta^2 \Psi$$

$$\Psi = \frac{\partial}{\partial z} \Psi = 0 \quad \text{en } z=1$$

$$\Psi_{xx} - \frac{C_r R}{\kappa} \Psi_{zzz} = \frac{1}{C_r} \Psi \Psi_{xz} \quad \frac{\partial}{\partial z} \Psi = 0 \quad \text{en } z=-1$$

Donde  $R$  es el número de Reynolds,  $c_r$  es el valor propio del modo más inestable en la ecuación de Orr-Sommerfeld, y  $\kappa$  es el coeficiente de elasticidad de la pared inferior. La condición de frontera en  $z=1$  indica que la velocidad en la pared es cero, esto se debe a la viscosidad del fluido. En la condición de frontera en  $z=-1$  se encuentra como veremos esta misma propiedad y además la respuesta de la pared flexible a la presión del fluido.

Cuando  $\kappa \rightarrow \infty$ , esto es, cuando la pared flexible se vuelve rígida obtenemos la siguiente ecuación para la evolución de la perturbación:

$$\frac{\partial}{\partial t} \Psi + \frac{\partial}{\partial z} \Psi \frac{\partial}{\partial x} \Delta \Psi - \frac{\partial}{\partial x} \Psi \frac{\partial}{\partial z} \Delta \Psi = \frac{1}{R} \Delta^2 \Psi$$

$$\Psi = \frac{\partial}{\partial z} \Psi = 0 \quad \text{en } z=\pm 1$$

En esta ecuación  $R$  es el número de Reynolds y las condiciones de frontera indican que el fluido se adhiere (por viscosidad) a las paredes.

Todos los cálculos numéricos que se utilizan a continuación fueron tomados de Stuart [10] y de Rotenberry [9].

En la siguiente sección estudiaremos dos ecuaciones modelo de fenómenos de estabilidad en problemas simples para entender los mecanismos y balances involucrados en los cambios de estabilidad para buscar los mismos en el caso del problema del flujo de Poiseuille.

## SECCION I

En esta sección se encontrarán las ecuaciones que gobiernan la amplitud de un paquete de ondas centradas alrededor de un número de onda conocido para la ecuación de Klein-Gordon con un término inestabilizante y un término cúbico y para la ecuación de Korteweg-de Vries (ver Whitam [13]).

Queremos estudiar la estabilidad de un paquete de ondas con números de onda centrados alrededor de un número de onda conocido  $k_0$  para la siguiente ecuación

$$U_{tt} - U_{xx} + U + \delta U_t + \gamma U^3 = 0 \quad (1)$$

La ecuación número (1) es una ecuación de onda más un término dispersivo  $u$ , un término de inestabilidad  $\delta u$  y un término no lineal  $\gamma u^3$ .

Para estudiar la estabilidad del paquete de ondas, encontraremos una ecuación que gobierne su amplitud en el espacio y en el tiempo. Aquí se trata de balancear un mecanismo de inestabilidad lineal con un mecanismo no lineal de saturación que pare el crecimiento.

La finalidad de este estudio es la de entender la combinación de dispersión, inestabilidad y saturación.

Comenzaremos analizando la ecuación sin el término de inestabilidad y el término no lineal, esto es la ecuación

$$U_{tt} - U_{xx} + U = 0 \quad (2)$$

Con el fin de entender la dispersión de un paquete.

Si sustituimos en esta ecuación (2)

$$U = e^{i(k_0 x - \omega_0 t)}$$

esto es una onda con número de onda  $k_0$  y frecuencia  $\omega_0$  encontramos que

$$-\omega_0^2 e^{i(k_0 x - \omega_0 t)} + k_0^2 e^{i(k_0 x - \omega_0 t)} + e^{i(k_0 x - \omega_0 t)} = 0$$

de donde

$$\omega_0^2 = k_0^2 + 1$$

ecuación conocida como relación de dispersión.

La solución general de la ecuación (2) puede ser encontrada usando transformada de Fourier y de Laplace, y tiene la forma

$$u(x, t) = \int_{-\infty}^{\infty} e^{i(kx - \omega(k)t)} f(k) dk$$

donde  $\omega(k) = \pm(k^2 + 1)^{1/2}$  es la relación de dispersión y  $F(k)$  es la transformada de las condiciones iniciales.

Si queremos estudiar solo un paquete de ondas con número de onda  $k$  tales que  $-\epsilon \leq k - k_0 \leq \epsilon$  donde  $k_0$  es conocido tenemos

$$u = \int_{|k - k_0| \leq \epsilon} e^{i(kx - \omega(k)t)} f(k) dk$$

si  $\eta = k - k_0$

$$u = \int_{|\eta| \leq \epsilon} e^{i[(k_0 + \eta)x - \omega(k_0 + \eta)t]} f(\eta + k_0) d\eta$$

si ahora desarrollamos  $\omega(k_0 + \eta)$  en serie de Taylor a segundo

orden alrededor de  $k_0$  tenemos

$$\omega(k_0 + \eta) = \omega(k_0) + \omega'(k_0)\eta + \frac{1}{2}\omega''(k_0)\eta^2 + O(\eta^3)$$

de donde tenemos que

$$\begin{aligned} u &= \int_{|\eta| \leq \epsilon} e^{i[(k_0 + \eta)x - (\omega(k_0) + \omega'(k_0)\eta + \frac{1}{2}\omega''(k_0)\eta^2)t]} F(\eta + k_0) d\eta = \\ &= e^{i(k_0 x - \omega(k_0)t)} \int_{|\eta| \leq \epsilon} e^{i[\eta x - \omega'(k_0)\eta t - \frac{1}{2}\omega''(k_0)\eta^2 t]} F(\eta + k_0) d\eta \end{aligned}$$

si hacemos  $\eta = \epsilon \kappa$

$$u = e^{i(k_0 x - \omega(k_0)t)} \int_{|\kappa| \leq 1} e^{i[\kappa \epsilon x - \omega'(k_0)\kappa \epsilon t - \frac{1}{2}\omega''(k_0)\kappa^2 \epsilon^2 t]} F(\epsilon \kappa + k_0) d\kappa$$

ahora el integrando puede ser visto como una función de  $\tilde{x}$ ,  $\tilde{t}$  y  $\tau$  donde  $\tilde{x} = \epsilon x$ ,  $\tilde{t} = \epsilon t$  y  $\tau = \epsilon^2 t$ . Llamaremos a esta función  $A(\tilde{x}, \tilde{t}, \tau)$ . Obsérvese que el parámetro  $\epsilon$  está en las condiciones iniciales, en el ancho de la banda y en el número de onda.

Notese la aparición de dos escalas en tiempo y solo de una en espacio como consecuencia de las condiciones iniciales.

Notese pues que las solución tiene la forma

$$A(\tilde{x}, \tilde{t}, \tau) e^{i(k_0 x - \omega(k_0)t)}$$

donde  $A$  satisface la ecuación de Schrödinger.

Por otra parte en el caso de un problema no lineal como en

el que nos interesa no se tiene la solución como una integral de Fourier y por esto es necesario una derivación de la ecuación para la envolvente independiente de la representación integral.

Para esto utilizamos las diferentes escalas que se descubren del análisis exacto y buscamos una solución aproximada de la forma:

$$u(x,t) = A(\tilde{x}, \tilde{t}, \tau) e^{i(k_0 x - \omega_0 t)} + \epsilon u_1(x,t) + \epsilon^2 u_2(x,t) + \dots$$

donde  $\omega_0 = \omega(k_0)$ .

Sustituyendo esta expresión para  $u$  en la ecuación (2) y usando la regla de la cadena para las nuevas variables  $\tilde{x}$ ,  $\tilde{t}$  y  $\tau$  encontramos

$$u_{tt} = (-\omega_0^2 A - 2i\omega_0 \epsilon A_{\tilde{t}} + \epsilon^2 A_{\tilde{t}\tilde{t}} - 2i\omega_0 \epsilon^2 A_{\tilde{t}\tau}) e^{i\theta} + \epsilon u_{1,tt} + \epsilon^2 u_{2,tt} + \dots$$

$$u_{xx} = (-k_0^2 A + 2ik_0 \epsilon A_{\tilde{x}} + \epsilon^2 A_{\tilde{x}\tilde{x}}) e^{i\theta} + \epsilon u_{1,xx} + \epsilon^2 u_{2,xx} + \dots$$

donde

$$\theta = k_0 x - \omega_0 t$$

terminos a orden uno

$$-\omega_0^2 A e^{i\theta} + k_0^2 A e^{i\theta} + A e^{i\theta} = 0$$

de donde  $\omega_0^2 = k_0^2 + 1$  que es nuevamente la relación de dispersión.

Terminos proporcionales a  $\epsilon$

$$-2i\omega_0 A_{\tilde{x}} e^{i\theta} + u_{1tt} - 2ik_0 A_{\tilde{x}} e^{i\theta} - u_{1xx} + u_1 = 0$$

de donde

$$\mathcal{L}(u_1) \equiv u_{1tt} - u_{1xx} + u_1 = 2i(\omega_0 A_{\tilde{x}} + k_0 A_{\tilde{x}}) e^{i\theta}$$

una solución para esta ecuación es

$$u_1 = -(\omega_0 A_{\tilde{x}} + k_0 A_{\tilde{x}}) t e^{i\theta}$$

Por lo tanto, para que esta ecuación tenga solución sin resonancia es necesario que

$$\omega_0 A_{\tilde{x}} + k_0 A_{\tilde{x}} = 0$$

esto lo logramos sustituyendo

$$\tilde{x} = \tilde{x} - \omega_0' \tilde{t}$$

donde  $\omega_0' = k_0/\omega_0$  es la velocidad de grupo, y tomando

$$A(\tilde{x}, \tilde{t}, \tau) = A(\tilde{\xi}, \tau)$$

terminos proporcionales a  $\epsilon^2$

$$A_{\tilde{\xi}\tilde{\xi}} e^{i\theta} - 2i\omega_0 A_{\tilde{\xi}} e^{i\theta} + u_{2tt} - A_{\tilde{x}\tilde{x}} e^{i\theta} - u_{2xx} + u_2 = 0$$

de donde



Nuevamente para no tener resonancia necesitamos que

$$2i\omega_0 A_\tau - A_{\xi\xi} + A_{\tilde{x}\tilde{x}} = 0$$

sustituyendo la variable  $\xi$  y tomando en cuenta que

$$A_{\xi\xi} = \omega_0'^2 A_{\tilde{x}\tilde{x}} \quad \text{y} \quad A_{\tilde{x}\tilde{x}} = A_{\xi\xi}$$

obtenemos

$$2i\omega_0 A_\tau - (\omega_0'^2 - 1) A_{\xi\xi} = 0$$

de donde

$$iA_\tau = \frac{\omega_0'^2 - 1}{2\omega_0} A_{\xi\xi}.$$

Esta es la ecuación que gobierna la evolución de la amplitud  $A$  en la ecuación (2) que es la misma que la que obtuvimos de la representación integral pero ahora la derivamos con un argumento aplicable en principio al caso no lineal.

Analizaremos la ecuación (2) más el término no lineal de la ecuación (1), esto es la ecuación

$$u_{tt} - u_{xx} + u + \gamma u^3 = 0 \quad (3)$$

Intentaremos un análisis con las mismas variables  $\tilde{x} = \epsilon x$ ,  $\tilde{t} = \epsilon t$  y  $\tau = \epsilon^2 t$  de la ecuación (2). La amplitud  $A$  en general es

una función compleja por lo tanto para obtener soluciones reales debemos sumar el complejo conjugado (en el caso lineal estas dos soluciones son independientes). tomamos  $u$  como

$$u(x,t) = \epsilon(A(\bar{x}, \bar{t}, \tau)e^{i\theta} + \bar{A}(\bar{x}, \bar{t}, \tau)e^{-i\theta}) + \epsilon^2 u_1(x,t) + \epsilon^3 u_2(x,t) + \dots$$

donde  $\bar{A}$  es el complejo conjugado de  $A$ .

La amplitud se toma a orden  $\epsilon$  ya que la no linealidad es cúbica y este es el escalamiento apropiado en el estudio de oscilaciones.

Derivando igual que en el caso lineal y sustituyendo en la ecuación (3), tenemos:

Términos proporcionales a  $\epsilon$

$$-\omega_0^2(Ae^{i\theta} + \bar{A}e^{-i\theta}) + k^2(Ae^{i\theta} + \bar{A}e^{-i\theta}) + (Ae^{i\theta} + \bar{A}e^{-i\theta}) = 0$$

de donde  $\omega_0^2 = k^2 + 1$  que es la relación de dispersión de la aproximación lineal.

Términos proporcionales a  $\epsilon^2$

$$\begin{aligned} & -2i\omega_0 A_{\bar{t}} e^{i\theta} + 2i\omega_0 \bar{A}_{\bar{t}} e^{-i\theta} + u_{1,\tau\tau} - 2ik_0 A_{\bar{x}} e^{i\theta} + \\ & + 2ik_0 \bar{A}_{\bar{x}} e^{-i\theta} - u_{1,xx} + u_1 = 0 \end{aligned}$$

de donde

$$L(u_1) = 2i(\omega_0 A_{\bar{t}} + k_0 A_{\bar{x}})e^{i\theta} - 2i(\omega_0 \bar{A}_{\bar{t}} + k_0 \bar{A}_{\bar{x}})e^{-i\theta}$$

Para que exista solución a esta ecuación sin resonancia necesitamos que

$$\omega_0 A_z + k_0 A_z = 0$$

lo cual logramos sustituyendo

$$\xi = \tilde{x} - \omega_0' \tilde{t}$$

donde  $\omega_0' = k_0 \omega_0$  es la velocidad de grupo, y haciendo

$$A(\tilde{x}, \tilde{t}, z) = \tilde{A}(\xi, z)$$

Términos proporcionales a  $e^3$

$$-2i\omega_0 A_z e^{i\theta} + A_{\tilde{t}\tilde{t}} e^{i\theta} + 2i\omega_0 \bar{A}_z e^{-i\theta} + \bar{A}_{\tilde{t}\tilde{t}} e^{-i\theta} + u_{2z\tilde{t}} - A_{\tilde{x}\tilde{x}} e^{i\theta} -$$

$$- \bar{A}_{\tilde{x}\tilde{x}} e^{-i\theta} - u_{2xx} + u_2 + \gamma(A e^{i\theta} + \bar{A} e^{-i\theta})^3 = 0$$

de donde

$$\begin{aligned} L(u_2) &= (2i\omega_0 A_z - A_{\tilde{t}\tilde{t}} + A_{\tilde{x}\tilde{x}} - 3\gamma A^2 \bar{A}) e^{i\theta} + \\ &+ (-2i\omega_0 \bar{A}_z - \bar{A}_{\tilde{t}\tilde{t}} + \bar{A}_{\tilde{x}\tilde{x}} - 3\gamma \bar{A}^2 A) e^{-i\theta} - \\ &- \gamma A^3 e^{3i\theta} - \gamma \bar{A}^3 e^{3i\theta} \end{aligned}$$

Para no tener resonancia necesitamos que

$$2i\omega_0 A_z - A_{\xi\xi} + A_{\xi\xi} - 3\gamma A^2 \bar{A} = 0$$

sustituyendo  $\xi = \bar{\kappa} - \omega_0 t$  encontramos

$$2i\omega_0 A_z - (\omega_0^2 - 1) A_{\xi\xi} - 3\gamma A^2 \bar{A} = 0$$

de donde tenemos que

$$i A_z = \frac{\omega_0^2 - 1}{2\omega_0} A_{\xi\xi} + \frac{3\gamma}{2\omega_0} |A|^2 A$$

esta ecuación que gobierna la evolución de la amplitud en el caso de la ecuación (3) es conocida como ecuación cúbica de Schrödinger.

Analizaremos ahora de la misma forma la ecuación completa

$$u_{t\xi} - u_{\xi\xi} + u + \delta u_\xi + \gamma u^3 = 0 \quad (1)$$

$\delta \ll 1$ , será escogida para balancear su efecto con el efecto cúbico.

La relación de dispersión de la parte lineal es:

$$-\omega^2 + \kappa^2 + 1 - i\delta\omega = 0$$

De donde obtenemos

$$\omega(\kappa, \delta) = \frac{i\delta \pm (-\delta^2 + 4(\kappa^2 + 1))^{1/2}}{2}$$

Si escribimos  $\omega = \omega_1 + i\omega_2$ , tenemos que

$$\omega_c = \frac{1}{2} \delta$$

Por lo tanto, hay un  $\delta$  crítico  $\delta_c$  tal que si  $\delta > \delta_c$  existen modos inestables.

Escogeremos  $\delta$  proporcional a  $\epsilon^2$  para balancear el término inestable con el término cúbico, por lo tanto  $\delta = \mu \epsilon^2$ . De nuevo tomaremos  $u$  como

$$u(x, t) = \epsilon (A(\tilde{x}, \tilde{t}, \tau) e^{i\theta} + \bar{A}(\tilde{x}, \tilde{t}, \tau) e^{-i\theta}) + \epsilon^2 u_1(x, t) + \epsilon^3 u_2(x, t) + \dots$$

sustituyendo esta expresión para  $u$  en la ecuación (1), tenemos en los dos primeros ordenes de magnitud una situación idéntica a la de la ecuación anterior y a orden  $\epsilon^3$  tenemos lo siguiente:

Términos proporcionales a  $\epsilon^3$

$$\begin{aligned} & -2i\omega_0 A_z e^{i\theta} + 2i\omega_0 \bar{A}_z e^{-i\theta} + A_{\tilde{t}\tilde{t}} e^{i\theta} + \bar{A}_{\tilde{t}\tilde{t}} e^{-i\theta} + u_{z\tau\tau} - \\ & - A_{\tilde{x}\tilde{x}} e^{i\theta} - \bar{A}_{\tilde{x}\tilde{x}} e^{-i\theta} - u_{zxx} + u_z + \mu (-i\omega_0 A e^{i\theta} + \\ & + i\omega_0 \bar{A} e^{-i\theta}) + \gamma (A e^{i\theta} + \bar{A} e^{-i\theta})^3 = 0 \end{aligned}$$

reordenando los términos tenemos

$$\begin{aligned} \mathcal{L}(u_2) &= (2i\omega_0 A_z - A_{\tilde{t}\tilde{t}} + A_{\tilde{x}\tilde{x}} + i\omega_0 \mu A - 3\gamma A^2 \bar{A}) e^{i\theta} + \\ & + (-2i\omega_0 \bar{A}_z - \bar{A}_{\tilde{t}\tilde{t}} + \bar{A}_{\tilde{x}\tilde{x}} - i\omega_0 \mu \bar{A} - 3\gamma \bar{A}^2 A) e^{-i\theta} \\ & - \gamma A^3 e^{3i\theta} - \gamma \bar{A}^3 e^{-3i\theta} \end{aligned}$$

para no tener resonancia necesitamos

$$2i\omega_0 A_z - A\bar{\xi}\bar{\xi} + A_{xx} + i\nu_0 \mu A - 3A^2\bar{A} = 0$$

sustituyendo  $\xi = \tilde{x} - \omega_0 t$  donde  $\omega_0 = k_0/\omega_0$  es la velocidad de grupo y tomando

$$A(\tilde{x}, \tilde{t}, z) = A(\xi, z)$$

de donde obtenemos que A satisface la siguiente ecuación

$$iA_z = \frac{\omega_0^2 - 1}{2\omega_0} A_{\xi\xi} + \frac{i\mu}{2} A + \frac{3\nu}{2\omega_0} |A|^2 A$$

esta ecuación que gobierna la evolución de la amplitud A para la ecuación es conocida como la ecuación Ginzburg-Landau. El primer término del lado derecho da los efectos dispersivos, el segundo da la inestabilidad y el tercero es un corrimiento de fase; en la tercera sección veremos que si el coeficiente de este último término tiene parte imaginaria negativa puede estabilizar las soluciones.

Trataremos ahora con el mismo análisis de encontrar una ecuación para la amplitud de un paquete de ondas con número de onda k tal que  $-e \leq k - k_0 \leq e$  donde  $k_0$  es un número de onda conocido para la siguiente ecuación conocida como ecuación de Korteweg-de Vries.

$$u_t = uu_x + u_{xxx} \quad (4)$$

Los términos no lineales son ahora de la forma  $uu_x$  lo cual hace que una constante sea solución. El esquema de aproximación no funciona en este caso y debe ser modificado. Veremos ahora

como falla y corregiremos el error .

Nuevamente para tomar en cuenta el termino no lineal hasta el tercer orden buscamos una  $u$  de la forma

$$u(x,t) = \varepsilon (A(\tilde{x}, \tilde{t}, \tau) e^{i\theta} + \bar{A}(\tilde{x}, \tilde{t}, \tau) e^{-i\theta}) + \varepsilon^2 u_1(x,t) + \varepsilon^3 u_2(x,t) + \dots$$

donde como en la ecuación

$$\tilde{x} = \varepsilon x, \quad \tilde{t} = \varepsilon t, \quad \tau = \varepsilon^2 t \quad \text{y} \quad \theta = k_0 x - \omega_0 t$$

sustituyendo la expresión anterior para  $u$  en la ecuación (4) obtenemos :

Términos proporcionales a  $\varepsilon$

$$\omega_0 (-i A e^{i\theta} + i \bar{A} e^{-i\theta}) = \kappa_0^3 (-i A e^{i\theta} + i \bar{A} e^{-i\theta})$$

de donde  $\omega_0 = \kappa_0^3$  esta es la relación de dispersión de la aproximación lineal de la ecuación (4).

Términos proporcionales a  $\varepsilon^2$

$$A_{\tilde{t}} e^{i\theta} + \bar{A}_{\tilde{t}} e^{-i\theta} + u_{1,t} = i \kappa_0 A^2 e^{i2\theta} + i \kappa_0 A \bar{A} - i \kappa_0 \bar{A}^2 e^{-i2\theta} - i \kappa_0 A \bar{A} - 3 \kappa_0^2 A_{\tilde{x}} e^{i\theta} - 3 \kappa_0^2 \bar{A}_{\tilde{x}} e^{-i\theta}$$

reordenando los terminos tenemos

$$\begin{aligned} \mathcal{L}(u_1) \equiv u_{1,t} - u_{1,xxx} &= -(A_{\tilde{t}} + 3\kappa_0^2 A_{\tilde{x}}) e^{i\theta} - (\bar{A}_{\tilde{t}} + 3\kappa_0^2 \bar{A}_{\tilde{x}}) e^{-i\theta} \\ &\quad + i \kappa_0 (A^2 e^{i2\theta} - \bar{A}^2 e^{-i2\theta}) \end{aligned}$$

esta ecuación tiene una solución de la forma

$$u_1 = -(A\bar{z} + 3k_0^2 A z) t e^{i\theta} - (\bar{A}\bar{z} + 3k_0^2 \bar{A} z) t e^{i\theta} + \frac{1}{6k_0^2} (A^2 e^{i2\theta} + \bar{A}^2 e^{-i2\theta})$$

Por lo tanto, para que tenga solución sin resonancia es necesario que

$$A\bar{z} + 3k_0^2 A z = 0$$

Por lo que sustituimos  $\xi = \bar{x} - \omega_0 t$  donde  $\omega_0 = 3k_0^2$  es la velocidad de grupo y obtenemos:

$$\mathcal{L}(u_1) = ik_0 (A^2 e^{i2\theta} - \bar{A}^2 e^{-i2\theta})$$

una solución de esta ecuación es

$$u_1 = \frac{1}{6k_0^2} (A^2 e^{i2\theta} + \bar{A}^2 e^{-i2\theta})$$

Términos proporcionales a  $e^3$

$$\begin{aligned} A z e^{i\theta} + \bar{A} z e^{-i\theta} + u_{2z} &= A e^{i\theta} u_{1z} + \bar{A} e^{-i\theta} u_{1z} + A A z e^{i2\theta} + \\ &+ \bar{A} A z + A \bar{A} z + \bar{A} \bar{A} z e^{-i2\theta} + ik_0 A e^{i\theta} u_1 - ik_0 \bar{A} e^{-i\theta} u_1 + \\ &+ 3ik_0 A z z e^{i\theta} - 3ik_0 \bar{A} z z e^{-i\theta} + u_{2zzz} \end{aligned}$$

sustituyendo la expresión encontrada para  $u_1$  obtenemos

$$A z e^{i\theta} + \bar{A} z e^{-i\theta} + u_{2z} = \frac{i}{6k_0} A^2 e^{i3\theta} - \frac{i}{6k_0} \bar{A} \bar{A} z e^{-i\theta} + \frac{i}{6k_0} \bar{A} A z e^{i2\theta}$$



$$-\frac{i}{6k_0} \bar{A}^3 e^{-i3\theta} + AA_{xx} e^{i2\theta} + \bar{A}A_{xx} + A\bar{A}_{xx} + \bar{A}\bar{A}_{xx} e^{i2\theta} + \frac{i}{6k_0} A^3 e^{i3\theta} +$$

$$+\frac{i}{6k_0} A\bar{A}^2 e^{-i\theta} - \frac{i}{6k_0} \bar{A}A^2 e^{i\theta} - \frac{i}{6k_0} \bar{A}^3 e^{-i3\theta} + 3ik_0 A_{xx} e^{i\theta} - 3ik_0 \bar{A}_{xx} e^{-i\theta} + u_{2xxx}$$

reordenando terminos tenemos

$$L(u_2) = \bar{A}A_{xx} + A\bar{A}_{xx} + (-A_x + 3ik_0 A_{xx}) e^{i\theta} + (-\bar{A}_x - 3ik_0 \bar{A}_{xx}) e^{-i\theta} +$$

$$+ AA_{xx} e^{i2\theta} + \bar{A}\bar{A}_{xx} e^{-i2\theta} + \frac{i}{3k_0} A^3 e^{i3\theta} - \frac{i}{3k_0} \bar{A}^3 e^{-i3\theta}$$

en este orden de magnitud vemos que aparecen terminos resonantes aparte de los terminos en  $e^{i\theta}$  y  $e^{-i\theta}$  los cuales no se pueden eliminar.

El problema en la ecuación (4) es que el término no lineal no es tan simple como en la ecuación (1) el cual al ser cúbico simplificaba el análisis.

A diferencia de los problemas lineales en los cuales los modos normales se desarrollan independientemente uno del otro, en los problemas no lineales los modos normales interactúan cada uno con sí mismo y también con los demás. En este caso particular dado que queremos una aproximación de la forma

$$u = \varepsilon (A e^{i\theta} + \bar{A} e^{-i\theta}) + \dots$$

el término en  $e^{i\theta}$  al ser multiplicado por el término en  $e^{-i\theta}$  nos dará un término que no oscila que representa al flujo medio, el cual será de orden  $\varepsilon^2$  ya que los modos que interactúan son de orden  $\varepsilon$ .

Buscaremos entonces una aproximación de la forma

$$u(x, t) = \varepsilon^2 M(\bar{x}, \bar{t}, \tau) + \varepsilon (A(\bar{x}, \bar{t}, \tau) e^{i\theta} + \bar{A}(\bar{x}, \bar{t}, \tau) e^{-i\theta}) + \varepsilon^2 u_1(x, t) + \varepsilon^3 u_2(x, t) + \dots$$

sustituyendo esta expresión para  $u$  en la ecuación (4) obtenemos que en los dos primeros ordenes de magnitud no hay ningún cambio respecto al intento anterior, y a orden  $\varepsilon^3$  tenemos:

Términos proporcionales a  $\varepsilon^3$

$$\begin{aligned} M_{\bar{t}\bar{t}} + A_{\bar{t}} e^{i\theta} + \bar{A}_{\bar{t}} e^{-i\theta} + u_{2\bar{t}} &= M(i\kappa_0 A e^{i\theta} - i\kappa_0 \bar{A} e^{-i\theta}) + \\ &+ A e^{i\theta} u_{1x} + \bar{A} e^{-i\theta} u_{1x} + A A_{\bar{x}} e^{i2\theta} + (A \bar{A})_{\bar{x}} + \bar{A} \bar{A}_{\bar{x}} e^{-i2\theta} \\ &+ i\kappa_0 A e^{i\theta} u_1 - i\kappa_0 \bar{A} e^{-i\theta} u_1 + 3i\kappa_0 A \bar{x} \bar{x} e^{i\theta} - 3i\kappa_0 \bar{A} \bar{x} \bar{x} e^{-i\theta} + u_{2xxx} \end{aligned}$$

sustituyendo la expresión encontrada para  $u_1$  y simplificando obtenemos

$$\begin{aligned} L(u_2) &= (A \bar{A})_{\bar{x}} - M_{\bar{t}\bar{t}} + (-A_{\bar{t}} + i\kappa_0 M A + 3i\kappa_0 A \bar{x} \bar{x}) e^{i\theta} + (-\bar{A}_{\bar{t}} - i\kappa_0 M \bar{A} - \\ &- 3i\kappa_0 \bar{A} \bar{x} \bar{x}) e^{-i\theta} + \frac{i}{3\kappa_0} (A^3 e^{i3\theta} - \bar{A}^3 e^{-i3\theta}) + A A_{\bar{x}} e^{i2\theta} + \bar{A} \bar{A}_{\bar{x}} e^{-i2\theta} \end{aligned}$$

tenemos que  $\xi = \bar{x} - 3\kappa_0 \bar{t}$  por lo tanto podemos hacer

$$(A \bar{A})_{\bar{x}} - M_{\bar{t}\bar{t}} = 0$$

si tomamos

$$M = -\frac{1}{3\kappa_0^2} A \bar{A}$$

por lo tanto la ecuación para  $u_2$  queda de la siguiente forma

$$\begin{aligned} L(u_2) = & (-A_c + i\kappa_0 M A + 3i\kappa_0 A_{\bar{x}\bar{x}}) e^{i\theta} + (-A_c - i\kappa_0 M \bar{A} - 3i\kappa_0 \bar{A}_{\bar{x}\bar{x}}) e^{-i\theta} \\ & + \frac{i}{3\kappa_0} (A^3 e^{i3\theta} - \bar{A}^3 e^{-i3\theta}) + A A_{\bar{x}\bar{x}} e^{i\theta} + \bar{A} \bar{A}_{\bar{x}\bar{x}} e^{-i\theta} \end{aligned}$$

por lo tanto podemos evitar la resonancia poniendo

$$-A_c + i\kappa_0 M A + 3i\kappa_0 A_{\bar{x}\bar{x}} = 0$$

sustituyendo

$$M = -\frac{1}{3\kappa_0^2} |A|^2 \quad \text{y} \quad \bar{\xi} = \bar{x} - 3\kappa_0^2 \bar{t}$$

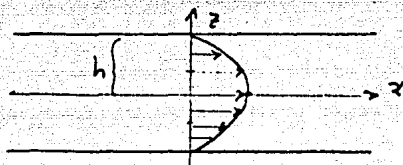
obtenemos

$$iA_c = -3\kappa_0 A_{\bar{\xi}\bar{\xi}} + \frac{1}{3\kappa_0} |A|^2 A$$

que es nuevamente una ecuación cúbica de Schrödinger, pero el coeficiente del término cúbico involucra la reacción del flujo medio sobre la onda.

## Sección II

Estudiaremos en esta sección la estabilidad del flujo entre dos planos paralelos a distancia  $2h$ . Este flujo es conocido como flujo plano de Poiseuille. En el régimen de flujo laminar sin perturbaciones un gradiente de presión constante produce una distribución de velocidad independiente de la coordenada  $x$  a lo largo de la corriente con un valor máximo  $U_0$  en el centro del canal.



Si consideramos el flujo como incompresible y denotamos la velocidad por  $\vec{u}(u(x,z,t), w(x,z,t))$  entonces  $\nabla \cdot \vec{u}$  por lo tanto existe una función de corriente  $\psi(x,z,t)$  tal que  $u = \psi_z$  y  $w = -\psi_x$ .

Las ecuaciones de Navier-Stokes adimensionalizadas para este flujo bidimensional en términos de la función de corriente (ver Batchelor [1]) se reducen a

$$\zeta_t + \psi_x \zeta_z - \psi_z \zeta_x = \frac{1}{R} \Delta \zeta$$

$$\zeta = -\Delta \psi$$

$$\Psi = cte \quad \Psi_z = 0 \quad \text{en } z = \pm 1$$

donde  $R = U_0 h / \nu$  es el número de Reynolds,  $\nu$  es la viscosidad cinemática y  $z$  se mide en unidades de longitud  $h$ . En el flujo laminar sin perturbaciones la velocidad es paralela a los planos y esta dada por

$$u_l = \psi_{lz} = 1 - z^2$$

el subíndice  $l$  se utiliza para denotar el flujo laminar.

En los casos anteriores la relación de dispersión que aparecía en la aproximación lineal era fácil de encontrar, el problema del flujo de Poiseuille es más complicado por lo que estudiaremos primero la aproximación lineal por separado.

Linealizando la ecuación (1) alrededor del flujo básico  $u_l = \psi_{lz} = 1 - z^2$  obtenemos la siguiente ecuación para la perturbación  $\bar{\psi}_1$

$$\bar{\Sigma}_{1,t} + (1 - z^2) \bar{\Sigma}_{1,x} + 2 \bar{\Psi}_{1,x} = \frac{1}{R} \Delta \bar{\Sigma}_1$$

$$\bar{\Sigma}_1 = -\Delta \bar{\Psi}_1$$

$$\bar{\Psi}_1 = \bar{\Psi}_{1,z} = 0 \quad \text{en } z = \pm 1$$

ya que se mantiene el mismo flujo que en ausencia de perturbación, modificando la presión.

Queremos encontrar la relación de dispersión como en el

caso de las ecuaciones (1) y (4) de la sección anterior, como la ecuación (2) depende también de  $z$ , sustituimos:

$$\bar{\Psi}_1(x, z, t) = \hat{\Psi}(z) e^{i\alpha x + st}$$

donde  $\alpha$  es el número de onda en la dirección  $x$ . Obteniendo la siguiente ecuación para  $\hat{\Psi}$

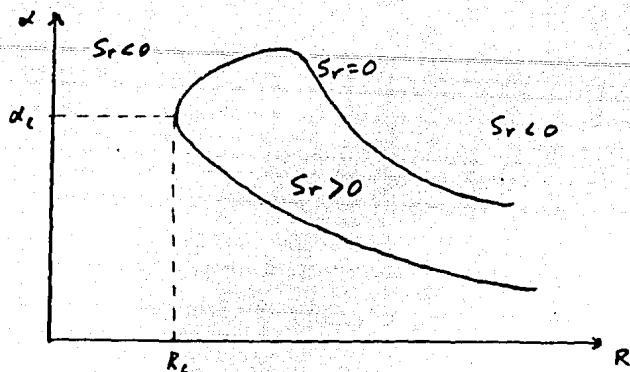
$$-i\alpha \left\{ (1 - z^2 - \frac{is}{\alpha}) (\hat{\Psi}'' - \alpha^2 \hat{\Psi}) + 2z \hat{\Psi}' \right\} + \frac{1}{R} \left\{ \hat{\Psi}'''' - 2\alpha^2 \hat{\Psi}'' + \alpha^4 \hat{\Psi} \right\} = 0$$

$$\hat{\Psi}(\pm 1) = \hat{\Psi}'_z(\pm 1) = 0$$

este es el problema del valor propio de Orr-Sommerfeld y ahora necesitamos encontrar no solo como depende la frecuencia  $s$  en función del número de onda  $\alpha$ , ahora para un  $\alpha$  fijo necesitamos encontrar  $s(\alpha, R)$  tal que la ecuación (3) tenga una solución no trivial.

La ecuación (3) ha sido resuelta numericamente ( ver Stuart [10] ) y se ha encontrado una sola función propia  $\hat{\Psi}$  que tiene un valor propio  $s(\alpha, R)$  cuya parte real  $s_r(\alpha, R)$  es positiva en una región del plano  $(\alpha, R)$ . La curva de estabilidad marginal  $s_r(\alpha, R) = 0$  se muestra en la figura 2.

Para  $R < R_c = 5780$ ,  $s_r(\alpha, R)$  es menor que cero para toda  $\alpha$ , por lo tanto las perturbaciones decrecen con el tiempo .



$$R_c = 5780$$

$$\alpha_c = 1.02$$

Usando transformada de Laplace y de Fourier la solución de la ecuación (2) es de la forma

$$\bar{\Psi}_1 = \frac{1}{2\pi} \int_{-\infty}^{\infty} e^{i\alpha x + S(\alpha, R)t} F(z; \alpha, R) d\alpha$$

Queremos conocer  $s(\alpha, R)$  en una vecindad de  $(\alpha_c, R_c)$  para esto desarrollamos  $s$  y  $F$  en potencias de  $(\alpha - \alpha_c)$  y  $(R - R_c)$  de la forma siguiente

$$S(\alpha, R) = -i c_r \alpha_c + i a_{1r} (\alpha - \alpha_c) + d_1 (R - R_c) - a_2 (\alpha - \alpha_c)^2 + \dots$$

donde  $a_{1r}$  es por comparación con los ejemplos de la sección anterior la velocidad de grupo y

$$F(z; \alpha, R) = \Psi_0(z) + \Psi_{10}(z)(\alpha - \alpha_c) + \Psi_{11}(z)(R - R_c) + \Psi_{12}(z)(\alpha - \alpha_c)^2 + \dots$$

Calcularemos los coeficientes  $a_{1r}$ ,  $d_1$  y  $a_2$  despreciando los términos de orden mayor. Sustituyendo estos dos desarrollos en (4) y después en (2) y usando el hecho de que

$$\frac{1}{R} = \frac{1}{R_c} - \frac{R-R_c}{R_c^2} + O((R-R_c)^2)$$

obtenemos:

Términos independientes de  $\alpha - \alpha_c$  y  $R - R_c$

$$\mathcal{L}(\Psi_1) \equiv (1-z^2-c_r)[\Psi_1'' - \alpha_c^2 \Psi_1] + 2\Psi_1 + \frac{i}{\alpha_c R_c} [\Psi_1^{(4)} - 2\alpha_c^2 \Psi_1'' + \alpha_c^4 \Psi_1] = 0 \quad (5)$$

$$\Psi_1(\pm 1) = \Psi_{1,z}(\pm 1) = 0$$

esta es la ecuación de Orr-Sommerfeld con  $\alpha = \alpha_c$ ,  $R = R_c$  y valor propio  $c_r$ .

Términos proporcionales a  $\alpha - \alpha_c$

$$\mathcal{L}(\Psi_{1o}) = -\frac{a_{1r}}{\alpha_c} [\Psi_{1o}'' - \alpha_c^2 \Psi_{1o}] - \frac{z}{\alpha_c} \Psi_{1o} - \left( \frac{1-z^2}{\alpha_c} - \frac{4i}{R_c} \right) [\Psi_{1o}'' - \alpha_c^2 \Psi_{1o}] + 2\alpha_c (1-z^2-c_r) \Psi_{1o} \quad (6)$$

$$\Psi_{1o}(\pm 1) = \Psi_{1o,z}(\pm 1) = 0$$

tenemos el mismo operador diferencial de la ecuación de Orr-Sommerfeld, una solución de esta ecuación no homogénea existe solo si el lado derecho cumple la siguiente condición de ortogonalidad.

Sea  $\Phi$  solución de la ecuación adjunta a la ecuación (5), entonces



$$0 = \int_{-1}^1 \mathcal{L}^+(\Phi) \Psi_0 dz = \int_{-1}^1 \Phi \mathcal{L}(\Psi_0) dz = \int_{-1}^1 \Phi \left\{ -\frac{a_{1r}}{\alpha_c} [\Psi_1'' - \alpha_c^2 \Psi_1] - \right.$$

$$\left. -\frac{2}{\alpha_c} \Psi_1 - \left( \frac{1-z^2}{\alpha_c} - \frac{4z}{R_c} \right) [\Psi_1'' - \alpha_c^2 \Psi_1] + 2\alpha_c (1-z^2 - cz) \Psi_1 \right\} dz$$

donde  $\mathcal{L}^+$  es el adjunto de  $\mathcal{L}$ , de donde obtenemos

$$a_{1r} = \frac{\int_{-1}^1 \Phi \left\{ 2\alpha_c^2 (1-z^2 - cz) \Psi_1 - 2\Psi_1 - \left(1-z^2 - \frac{4z\alpha_c}{R_c}\right) [\Psi_1'' - \alpha_c^2 \Psi_1] \right\} dz}{\int_{-1}^1 \Phi [\Psi_1'' - \alpha_c^2 \Psi_1] dz}$$

Términos proporcionales a  $R-R_c$

$$\mathcal{L}(\Psi_{11}) = -d_1 [\Psi_{11}'' - \alpha_c^2 \Psi_{11}] - \frac{1}{R^2} [\Psi_{11}^{IV} - 2\alpha_c^2 \Psi_{11}'' + \alpha_c^4 \Psi_{11}] \quad (7)$$

$$\Psi_{11}(\pm 1) = \Psi_{11z}(\pm 1) = 0$$

nuevamente el operador diferencial del lado izquierdo es igual al de la ecuación (5) por lo tanto nuevamente para que exista una solución el lado derecho debe ser ortogonal al núcleo del adjunto

$$0 = \int_{-1}^1 \mathcal{L}^+(\Phi) \Psi_{11} dz = \int_{-1}^1 \Phi \mathcal{L}(\Psi_{11}) dz = \int_{-1}^1 \Phi \left\{ -d_1 [\Psi_{11}'' - \alpha_c^2 \Psi_{11}] - \right.$$

$$\left. -\frac{1}{R^2} [\Psi_{11}^{IV} - 2\alpha_c^2 \Psi_{11}'' + \alpha_c^4 \Psi_{11}] \right\} dz$$

de donde obtenemos que

$$d_1 = - \frac{\int_{-1}^1 \Phi \left\{ \frac{1}{R_c^2} [\Psi_1'' - 2\alpha_c^2 \Psi_1' + \alpha_c^4 \Psi_1] \right\} dz}{\int_{-1}^1 \Phi [\Psi_1'' - \alpha_c^2 \Psi_1] dz}$$

Términos proporcionales a  $(\alpha - \alpha_c)^2$

$$\mathcal{L}(\Psi_{12}) = a_2 [\Psi_1'' - \alpha_c^2 \Psi_1] + i\alpha_c (1 - z^2 - c_r) [2\alpha_c \Psi_{10} + \Psi_1] - 2i\Psi_{10} - \quad (8)$$

$$-i(1 - z^2 + a_{1r}) [\Psi_{10}'' - \alpha_c^2 \Psi_{10} - 2\alpha_c \Psi_1] - \frac{2}{R_c^2} [\Psi_1'' - 3\alpha_c^2 \Psi_1 + 2\alpha_c (\Psi_{10}'' - \alpha_c^2 \Psi_{10})]$$

$$\Psi_{12}(\pm 1) = \Psi_{12z}(\pm 1) = 0$$

denuevo el operador diferencial es el mismo que el de la ecuación (5) por lo que el lado derecho debe ser ortogonal al núcleo del adjunto. De donde tenemos que

$$\begin{aligned} a_2 \int_{-1}^1 \Phi [\Psi_1'' - \alpha_c^2 \Psi_1] dz &= \int_{-1}^1 \Phi \left\{ -i\alpha_c (1 - z^2 - c_r) [2\alpha_c \Psi_{10} + \Psi_1] + \right. \\ &+ 2i\Psi_{10} + i(1 - z^2 + a_{1r}) [\Psi_{10}'' - 2\alpha_c^2 \Psi_{10} - 2\alpha_c \Psi_1] + \\ &\left. + \frac{2}{R_c^2} [\Psi_1'' - 3\alpha_c^2 \Psi_1 + 2\alpha_c (\Psi_{10}'' - \alpha_c^2 \Psi_{10})] \right\} dz \end{aligned}$$

Note que la relación que da a  $a_2$  es más complicada ya que necesitamos tener previamente calculada  $\psi_{10}$ .

La velocidad de grupo  $a_{1r}$  es un número real negativo,  $d_1$  y

$a_2$  son números complejos con parte real e imaginaria positivas. Estos fueron calculados numericamente ver Stuart [10]. Estos coeficientes dan la relación de dispersión aproximada alrededor del punto  $(\alpha_c, R_c)$ .

Consideraremos ahora el problema no lineal completo de la ecuación (1) para números de Reynolds alrededor del número de Reynolds crítico  $R_c$  y estudiaremos la evolución de un paquete de ondas con números de onda alrededor de  $\alpha_c$ .

La gráfica de la parte real de la relación de dispersión de la aproximación lineal tiene una tangente vertical en  $R = R_c$ , por lo tanto al igual que en el primer ejemplo de la sección anterior para  $R > R_c$  existen modos inestables  $s_r(\alpha, R) > 0$ . Por lo que al igual que en ese problema escalabamos  $\delta = \epsilon^2 \mu$ , ahora escalaremos

$$R - R_c = \epsilon^2 \lambda$$

y escogeremos las variables

$$\xi = \epsilon (x + a_{gr} t)$$

$$z = \epsilon^2 t$$

donde  $a_{gr}$  es la velocidad de grupo encontrada en el análisis lineal.

Desarrollaremos  $\psi(x, z, t)$  de la siguiente forma

$$\begin{aligned} \psi = & \varphi_0(z, \xi, z) + \varphi_1(z, \xi, z)E + \bar{\varphi}_1(z, \xi, z)E^{-1} \\ & + \varphi_2(z, \xi, z)E^2 + \bar{\varphi}_2(z, \xi, z)E^{-2} + \dots \end{aligned}$$

donde  $E = e^{i\alpha c(x - ct)}$  y la barra superior denota el complejo conjugado.

Ahora desarrollaremos cada sumando en potencias de  $\epsilon$ .

$$\psi_0 = z - \frac{1}{3} z^3 + \epsilon^2 \psi_{02}(z, \bar{z}, \tau) + \dots$$

$$\psi_1 = \epsilon \psi_{11}(z, \bar{z}, \tau) + \epsilon^2 \psi_{12}(z, \bar{z}, \tau) + \epsilon^3 \psi_{13}(z, \bar{z}, \tau) + \dots$$

$$\psi_2 = \epsilon^2 \psi_{22}(z, \bar{z}, \tau) + \dots$$

donde hemos despreciado términos de orden  $\epsilon^4$ .

El término  $z - 1/3 z^3$  es el flujo básico,  $\psi_{02}$  es el flujo medio resultado de la interacción del primer armónico con su conjugado y  $\psi_{22}$  es el resultado de la interacción del primer armónico consigo mismo, estos flujos medios son necesarios dado que  $\psi = \text{cte}$  es solución del problema.

sustituyendo este desarrollo para  $\psi$  e igualando términos proporcionales a los diferentes productos de  $\epsilon$  y  $E$  obtenemos:

Términos proporcionales a  $\epsilon E$

$$\mathcal{L}(\psi_{11}) = (1 - z^2 - c_r) [\psi_{11}'' - \alpha_c^2 \psi_{11}] + 2\psi_{11} + \frac{i}{\alpha_c R_c} [\psi_{11}^{IV} - 2\alpha_c^2 \psi_{11}'' + \alpha_c^4 \psi_{11}] = 0 \quad (6)$$

$$\psi_{11}(\pm 1) = \psi_{11,z}(\pm 1) = 0$$

esta es nuevamente la ecuación de Orr-Sommerfeld en  $\alpha = \alpha_c$  y  $R = R_c$ . esto era de esperarse ya que las potencias de  $\epsilon$  toman en cuenta las correcciones más altas.

Tomando pues

$$\Psi_{11}(z, \bar{z}, \tau) = A(\bar{z}, \tau) \Psi_1(z)$$

doeonde  $\psi_1(z)$  es la función propia de Orr-Sommerfeld correspondiente al modo más inestable. Encontraremos una ecuación para A.

Los términos proporcionales a  $eE^{-1}$  dan la misma ecuación pero conjugada.

Términos proporcionales a  $e^2 E^2$

Hay dos clases de estos términos, por una parte términos cuadráticos y por otra términos que involucran derivadas más altas en  $x$ . Estos son:

$$\begin{aligned} & [8i\alpha_c^3 C_r \Psi_{22} + 2i\alpha_c C_r \Psi_{22}'''] + (1-z^2) [8i\alpha_c^3 \Psi_{22} - 2i\alpha_c \Psi_{22}'''] + \\ & + [i\alpha_c^3 \Psi_{11} \Psi_{11}' - i\alpha_c \Psi_{11}' \Psi_{11}'''] - [i\alpha_c^3 \Psi_{11} \Psi_{11}' - i\alpha_c \Psi_{11}' \Psi_{11}'''] - \\ & - [4i\alpha_c \Psi_{22}] = -\frac{1}{R_c^2} [\Psi_{22}^{IV} - 8\alpha_c^2 \Psi_{22}'' + 16\alpha_c^4 \Psi_{22}] \end{aligned}$$

reagrupando términos y sustituyendo

$$\Psi_{11} = A(\bar{z}, \tau) \Psi_1(z)$$

obtenemos

$$\begin{aligned} (1-z^2 - C_r) [\Psi_{22}'' - 4\alpha_c^2 \Psi_{22}] + 2\Psi_{22} + \frac{i}{\alpha_c R_c} [\Psi_{22}^{IV} - 8\alpha_c^2 \Psi_{22}'' + \alpha_c^4 \Psi_{22}] = \\ = -\frac{1}{2} A^2 R_c (\Psi_1) \end{aligned} \quad (7)$$

$$\Psi_{22}(\pm 1) = \Psi_{22}'(\pm 1) = 0$$

donde

$$R_1(\psi_1) = \psi_1' \psi_1'' - \psi_1 \psi_1''' \quad (8)$$

Resultados numéricos (ver Stuart [10]) sugieren que no hay funciones complementarias a esta ecuación por lo que podemos suponer que su solución es única y escribirla como

$$\psi_{2z}(z, \xi, z) = A^2(\xi, z) \psi_2(z)$$

donde  $\psi_2$  se determina numericamente.

Términos proporcionales a  $e^2$  independientes de E  
Estos son los flujos medios

$$\begin{aligned} & -i\alpha_c^3 \psi_{11}' \bar{\psi}_{11} + i\alpha_c \psi_{11}' \bar{\psi}_{11}'' + i\alpha_c^3 \psi_{11} \bar{\psi}_{11}' - i\alpha_c \psi_{11}'' \bar{\psi}_{11}' - \\ & -i\alpha_c^3 \psi_{11} \bar{\psi}_{11}' + i\alpha_c \psi_{11} \bar{\psi}_{11}''' + i\alpha_c^3 \psi_{11}' \bar{\psi}_{11} - i\alpha_c \psi_{11}''' \bar{\psi}_{11} = \\ & = -\frac{1}{R_c} \psi_{0z}^{IV} \end{aligned}$$

reagrupando términos y sustituyendo

$$\psi_{11} = A(\xi, z) \psi_1(z)$$

obtenemos

$$\frac{1}{R_c} \psi_{0z}^{IV} = i\alpha_c A \bar{A} R_2(\psi_1) \quad (9)$$

$$\psi_{0z}(\pm 1) = \psi_{0z}(\pm 1) = 0$$

donde

$$R_2(\Psi_1) = [\Psi_1' \bar{\Psi}_1 - \Psi_1 \bar{\Psi}_1']'' \quad (10)$$

resolviendo la ecuación (9) obtenemos

$$\Psi_{02}(z, \xi, z) = |A(\xi, z)|^2 F(z)$$

donde

$$F(z) = i\alpha_c R_c \int_{-1}^z S(r) + \frac{c_1}{2}(r^2-1) + c_2(r+1) dr$$

donde

$$S(r) = \int_{-1}^r [\Psi_1'(x) \bar{\Psi}_1(x) - \Psi_1(x) \bar{\Psi}_1'(x)] dx$$

$$c_1 = \frac{3}{2} \int_{-1}^1 S(r) dr + 3S(1) \quad \text{y} \quad c_2 = \frac{1}{2} S(1).$$

Términos proporcionales a  $e^{2E}$

Estos provienen de las derivadas más altas

$$\begin{aligned} & [\alpha_c^2 a_{1r} \Psi_{11\xi} - 2\alpha_c^2 c_r \Psi_{11\xi} - i\alpha_c^3 c_r \Psi_{12} - a_{1r} \Psi_{11\xi}'' + i\alpha_c c_r \Psi_{12}'] + \\ & + (1-z^2) [3\alpha_c^2 \Psi_{11\xi} + i\alpha_c^3 \Psi_{12} - \Psi_{11\xi}'' - i\alpha_c \Psi_{12}'] - 2[\Psi_{11\xi} + \\ & + i\alpha_c \Psi_{12}] = \frac{1}{R_c} [4i\alpha_c^3 \Psi_{11\xi} - \alpha_c^4 \Psi_{12} - 4i\alpha_c \Psi_{11\xi}'' + 2\alpha_c^2 \Psi_{12}'' - \Psi_{12}^{(4)}] \end{aligned}$$

reagrupando términos y sustituyendo

$$\Psi_{11} = A(\xi, z) \Psi_1(z)$$

obtenemos

$$\mathcal{L}(\Psi_{12}) = \frac{i}{\alpha_c} A_{\xi} R_3(\Psi_1) \quad (11)$$

$$\Psi_{12}(\pm 1) = \Psi_{12}(\pm 1) = 0$$

donde

$$R(\Psi) = a_{1r} [\Psi_1'' - \alpha_c \Psi_1] - 2\alpha_c^2 \Psi_1 (1 - z^2 - c_r) + (1 - z^2 - \frac{4i\alpha_c}{R_c}) [\Psi_1'' - \alpha_c^2 \Psi_1] + z \Psi_1 \quad (12)$$

como en los ejemplos de la sección anterior donde a segundo orden sustituimos  $\xi = c(x - \omega_0' t)$  donde  $\omega_0'$  era la velocidad de grupo, aquí también, la presencia de la velocidad de grupo  $a_{1r}$  en el lado derecho de la ecuación (11) asegura que hay solución a esta ecuación sin necesidad de una condición de ortogonalidad, por lo cual de la ecuación (6) del análisis lineal obtenemos que  $\phi_{12}$  se puede escribir como

$$\Psi_{12}(z, \xi, z) = -i A_{\xi}(\xi, z) \Psi_0(z) + A_2(\xi, z) \Psi_1(z)$$

donde  $A_2$  puede ser incluida en  $A$  quedando la solución

$$\Psi_{12}(z, \xi, z) = -i A_{\xi}(\xi, z) \Psi_0(z)$$



Términos proporcionales a  $z^3 E$

Estos provienen de derivadas más altas y de términos no lineales e incluyen la interacción del flujo medio con la onda. Estos son:

$$\begin{aligned}
 & [\alpha_c^2 \Psi_{11z} - 2i\alpha_c a_{1r} \Psi_{11z} + i\alpha_c c_r \Psi_{11z} + \alpha_c^2 a_{1r} \Psi_{12z} - \\
 & - 2\alpha_c^2 c_r \Psi_{12z} - i\alpha_c^3 c_r \Psi_{13} - \Psi_{11}'' - a_{1r} \Psi_{12}'' + i\alpha_c c_r \Psi_{13}' ] + \\
 & + (1-z^2) [ -3i\alpha_c \Psi_{11z} + 3\alpha_c^2 \Psi_{12z} + i\alpha_c^3 \Psi_{13} - \Psi_{12}'' - i\alpha_c \Psi_{13} ] + \\
 & + [ i\alpha_c^3 \Psi_{02}' \Psi_{11} - i\alpha_c \Psi_{02}' \Psi_{11}'' + 8i\alpha_c^3 \bar{\Psi}_{11}' \Psi_{22} - 2i\alpha_c \bar{\Psi}_{11}' \Psi_{22}'' - \\
 & - i\alpha_c^3 \Psi_{22}'' \bar{\Psi}_{11} + i\alpha_c \Psi_{22}'' \bar{\Psi}_{11}'' ] - 2 [ \Psi_{12z} + i\alpha_c \Psi_{13} ] - [ 2i\alpha_c^3 \Psi_{22} \bar{\Psi}_{11}' - \\
 & - 4i\alpha_c^3 \Psi_{22}' \bar{\Psi}_{11} - i\alpha_c \Psi_{02}''' \bar{\Psi}_{11} - 2i\alpha_c \bar{\Psi}_{11}''' \Psi_{22} + i\alpha_c \Psi_{22}''' \bar{\Psi}_{11} ] = \\
 & = -\frac{1}{R_c} [ \Psi_{13}^{IV} - 2\alpha_c^2 \Psi_{13}'' + \alpha_c^4 \Psi_{13} ] + \frac{1}{R_c} [ 6\alpha_c^2 \Psi_{11z} + 4i\alpha_c^3 \Psi_{12z} - \\
 & - 2\Psi_{11z}'' - 4i\alpha_c \Psi_{12z}'' ] + \frac{i\lambda}{R_c^2} [ \Psi_{11}^{IV} - 2\alpha_c^2 \Psi_{11}'' + \alpha_c^4 \Psi_{11} ]
 \end{aligned}$$

reagrupando términos y sustituyendo las siguientes expresiones ya encontradas

$$\Psi_{11}(z, \beta, z) = A(\beta, z) \Psi_1(z)$$

$$\Psi_{22}(z, \beta, z) = A^2(\beta, z) \Psi_2(z)$$

$$\Psi_{02}(z, \bar{z}, z) = |A(z, \bar{z})|^2 F(z)$$

$$\Psi_{12}(z, \bar{z}, z) = -i A_{\bar{z}}(\bar{z}, z) \Psi_{10}(z)$$

obtenemos la siguiente ecuación:

$$\begin{aligned} \mathcal{L}(\Psi_{13}) = & \frac{i}{\alpha_c} A_z [\Psi_1'' - \alpha_c^2 \Psi_1] + \frac{i \lambda A}{\alpha_c R_c^2} [\Psi_1'' - 2\alpha_c^2 \Psi_1'' + \alpha_c^4 \Psi_1] - \\ & - \frac{i}{\alpha_c} A_{\bar{z}\bar{z}} R_4(\Psi_1, \Psi_{10}) + A|A|^2 R_5(\Psi_1, \Psi_2, F) \end{aligned} \quad (13)$$

$$\Psi_{13}(\pm 1) = \Psi_{13z}(\pm 1) = 0$$

donde

$$\begin{aligned} R_4(\Psi_1, \Psi_{10}) = & -i\alpha_c(1-z^2-c_r)[2\alpha_c\Psi_{10} + \Psi_1] + i(1-z^2+a_{1r})[\Psi_{10}'' - \\ & - \alpha_c^2\Psi_{10} - 2\alpha_c\Psi_1] + 2i\Psi_{10} + \frac{2}{R_c} [\Psi_1'' - 3\alpha_c^2\Psi_1 + 2\alpha_c(\Psi_{10}'' - \alpha_c^2\Psi_{10})] \end{aligned}$$

$$\begin{aligned} R_5(\Psi_1, \Psi_2, F) = & \Psi_2'[\bar{\Psi}_1'' - \alpha_c^2\bar{\Psi}_1] + 2\Psi_2[\bar{\Psi}_1''' - \alpha_c^2\bar{\Psi}_1'] - \\ & - 2\bar{\Psi}_1'[\Psi_2'' - 4\alpha_c^2\Psi_2] - \bar{\Psi}_1[\Psi_2''' - 4\alpha_c^2\Psi_2'] - \\ & - F'[\Psi_1'' - \alpha_c^2\Psi_1] + F''' \Psi. \end{aligned}$$

el operador diferencial del lado izquierdo de la ecuación (13) es

el mismo que en la ecuación (5) por lo tanto el lado derecho debe ser ortogonal al núcleo del adjunto que en el análisis lineal llamamos  $\Phi$ . Multiplicando por  $\Phi$  solución de la ecuación adjunta a la ecuación (5) e integrando respecto a  $z$  de  $-1$  a  $1$  obtenemos que  $A(\xi, \tau)$  debe satisfacer la siguiente ecuación de Ginzburg-Landau

$$A_z - a_2 A_{\xi\xi} = \lambda d_1 A + K |A|^2 A \quad (8)$$

con  $a_2$  dada en el análisis lineal y  $K$  dada por

$$K = \frac{i\alpha_c \int_{-1}^1 \Phi R_S(\Psi_1, \Psi_2, F) dz}{\int_{-1}^1 \Phi [\Psi_1'' - \alpha_c^2 \Psi_1] dz}$$

es en general complejo. Estos coeficientes fueron calculados numericamente (ver Rotenberg [9]).

Si llamamos

$$a_2 = \alpha + i\beta; \quad d_1 = d_{1r} + i d_{1i}; \quad \text{y} \quad K = K_1 + i K_2$$

y para quitar oscilaciones debidas a la parte imaginaria tomamos

$$A(\xi, z) = e^{i\gamma z} A_1(\xi, z)$$

donde  $\gamma = \lambda d_{1r} + K_2 |A|^2$  obtenemos que  $A_1$  satisface la siguiente ecuación

$$A_{1z} - a_2 A_{1\xi\xi} = \lambda d_{1r} A_1 + K_1 |A_1|^2 A_1 \quad (9)$$

si buscamos soluciones que no dependan ni de  $\xi$  ni de  $\tau$  tenemos

que

$$\lambda d_{ir} A_i + K_i |A_i|^2 A_i = 0$$

por lo tanto

$$|A_i|^2 = -\frac{d_{ir}}{K_i} \lambda \quad |A_i|^2 = 0$$

si llamamos  $A_e$  a la solución real diferente de cero tenemos que

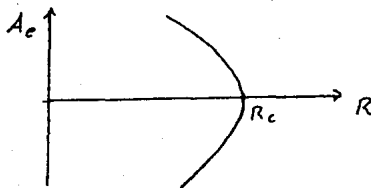
$$A_e^2 = -\frac{d_{ir}}{K_i} \lambda$$

$$\lambda = \frac{1}{\epsilon^2} (R - R_c)$$

por lo tanto

$$A_e = \left[ -\frac{1}{\epsilon^2} \frac{d_{ir}}{K_i} (R - R_c) \right]^{\frac{1}{2}}$$

donde dado que  $d_{ir}$  y  $K_i$  son positivos (estos son calculados numericamente ver Rotenberry [ 9 ]) esta expresión para  $A_e$  tiene sentido solo para  $R < R_c$ .



Veremos ahora que la solución  $A_0$  es inestable, para esto tomamos

$$A_1 = A_0 + A_2$$

donde  $A_2$  es una perturbación de  $A_0$ . Linealizando la ecuación (9) alrededor de  $A_0$  obtenemos la siguiente ecuación lineal para  $A_2$

$$A_{2z} - a_1 A_{2\xi\xi} = \lambda d_{1r} A_2 + K_1 A_0^2 \bar{A}_2 + 2K_1 A_0 A_2$$

$$\lambda = -\frac{K_1}{d_{1r}} A_0^2$$

de donde

$$A_{2z} - a_1 A_{2\xi\xi} = K_1 A_0^2 \bar{A}_2 + K_1 A_0^2 A_2 \quad (11)$$

si tomamos  $A_2 = A_{2r} + iA_{2i}$  obtenemos el siguiente sistema de ecuaciones para  $A_{2r}$  y  $A_{2i}$ .

$$\frac{\partial}{\partial z} \begin{bmatrix} A_{2r} \\ A_{2i} \end{bmatrix} = \frac{\partial^2}{\partial \xi^2} \begin{bmatrix} \alpha & -\beta \\ \beta & \alpha \end{bmatrix} \begin{bmatrix} A_{2r} \\ A_{2i} \end{bmatrix} + \begin{bmatrix} 2K_1 A_0^2 & 0 \\ 0 & 0 \end{bmatrix} \begin{bmatrix} A_{2r} \\ A_{2i} \end{bmatrix}$$

tomando transformada de Fourier obtenemos para  $\tilde{A}_{2r}(\tau, s)$  y  $\tilde{A}_{2i}(\tau, s)$  las siguientes ecuaciones

$$\frac{\partial}{\partial \tau} \begin{bmatrix} A_{2r} \\ A_{2i} \end{bmatrix} = \begin{bmatrix} -\alpha s^2 & \beta s^2 \\ -\beta s^2 & -\alpha s^2 \end{bmatrix} \begin{bmatrix} A_{2r} \\ A_{2i} \end{bmatrix}$$

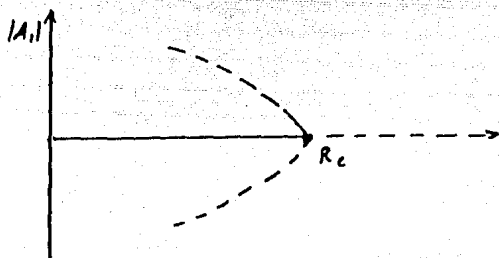
los valores propios de esta matriz son

$$\mu_1 = K_1 A e^2 - \alpha \lambda^2 + (K_1^2 A e^4 - \beta^2 \lambda^4)^{\frac{1}{2}}$$

$$\mu_2 = K_1 A e^2 - \alpha \lambda^2 - (K_1^2 A e^4 - \beta^2 \lambda^4)^{\frac{1}{2}}$$

como  $K_1 > 0$  tenemos que si  $s^2 \ll 1$  entonces  $\mu_1$  tiene parte real positiva, de donde obtenemos que estos modos tienden a infinito cuando  $\tau$  tiende a infinito. Esto es la solución  $A_1$  es inestable.

Tenemos así el siguiente diagrama de bifurcación para  $|A_1|$  en función del número de Reynolds.



do donde la línea continua representa la solución estable y la línea oculta las soluciones inestables.

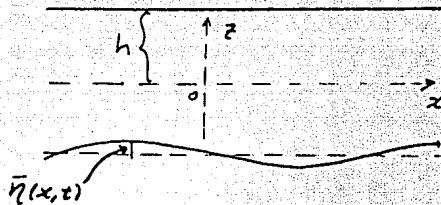
De aquí vemos que el flujo aun antes del número de Reynolds crítico puede pasar a la rama de amplitud inestable lo cual explica lo observado experimentalmente aunque este análisis

no da un número de Reynolds antes del cual el flujo sea totalmente estable.

Del análisis anterior vemos que si la parte real  $K_1$  del coeficiente de  $|A|^2 A$  fuera negativa entonces, los valores propios  $\mu_1$  y  $\mu_2$  tendrían parte real negativa y la solución  $A_0$  sería estable, de hecho la parábola del diagrama de bifurcación se abriría hacia la derecha. En la sección siguiente veremos que este es el caso cuando las paredes del canal son flexibles.

### SECCION III

En esta sección se estudiarán los efectos de una pared flexible en la parte inferior del canal.



Consideraremos la misma adimensionalización que en la sección anterior por lo cual la elevación de la pared inferior (flexible)  $\eta(x,t)$ , la constante elástica  $K$  y la diferencia entre la presión sobre la pared rígida y sobre la pared elástica  $\tilde{p}$  estarán adimensionalizadas como sigue

$$\eta = \frac{\bar{\eta}}{h}$$

$$K = \frac{\bar{K} h^3 \rho}{\mu^2}$$

$$\tilde{p} = \frac{\bar{p}}{\rho U^2}$$

donde  $\rho$  y  $\mu$  son la densidad y la viscosidad del fluido y  $\bar{\eta}, \bar{K}, \bar{p}$  son las variables dimensionales.

En el interior del fluido las ecuaciones son las mismas que en el caso de las paredes rígidas y las condiciones de frontera en  $z = 1$  son  $u = w = 0$ .

En la pared inferior las condiciones de frontera deben tomar en cuenta la flexibilidad de la pared. El desplazamiento de la frontera de su posición de equilibrio  $\eta(x,t)$  es una superficie libre y su elasticidad balancea a la presión del fluido. De donde obtenemos por la ley de Hooke que



$$-\frac{K}{R^2} \eta(x, t) = \tilde{p}(-1 + \eta(x, t), x, t) \quad (1)$$

donde  $R$  es el número de Reynolds.

La condición de que  $\eta(x, t)$  es superficie libre es

$$\frac{D}{Dt} (z - \eta(x, t)) = 0$$

que es la misma que

$$w(-1 + \eta(x, t), x, t) - \eta_x(x, t) u(-1 + \eta(x, t), x, t) - \eta_t(x, t) = 0 \quad (2)$$

la condición de que el fluido no resbale (por viscosidad) a lo largo de la pared toma la forma

$$(u, w) \cdot (1, \eta_x) = 0 \quad (3)$$

Para describir el método de solución del problema de manera simple es conveniente suponer que la pared elástica es mas bien rígida, es decir  $K \gg 1$  y referir a Rotenberry [9], para el estudio de  $K$  arbitraria que es esencialmente el mismo pero con una mayor cantidad de álgebra sin haber ningún efecto nuevo.

En este caso la pared es casi horizontal ( $\eta_x \ll 1$ ) y podemos tomar

$$u(-1, x) = 0 = \Psi_z(-1, x)$$

como una buena aproximación, donde  $\psi$  es la perturbación de la función de corriente producida por la presión  $\tilde{p}$ . Por otra parte de la ecuación (2) tenemos que

$$\eta_t = w(-1 + \eta, x, t) = w(-1, x, t) + w_z(-1, x, t) \eta + O(\eta^2) \quad (4)$$

ya que  $\eta_x \ll 1$

Dado que  $\tilde{p} = - (k/R^2)\eta$  y que el movimiento dominante es una onda con velocidad  $C_r$  tenemos que  $C_r \eta_x = \eta_t$  y a primer orden tenemos de la ecuación (4) que

$$C_r \eta_x = \omega(-1, x, t) = -\Psi_x(-1, x, t)$$

e integrando respecto a  $x$  tenemos

$$C_r \eta(x, t) = -\Psi(-1, x, t) \quad (5)$$

ya que la constante de integración se toma como cero por no haber un nivel medio.

Tenemos que

$$\eta_t = C_r \eta_x = -\frac{C_r R^2}{K} \tilde{p}_x \quad (6)$$

y de la ecuación de momento

$$U_t + U U_x + W U_z = \frac{1}{R} (U_{xx} + U_{zz}) - \tilde{p}_x$$

evaluada en la pared inferior da

$$\tilde{p}_x = \frac{1}{R} U_{zz}$$

y usando las ecuaciones (6), (5) y (4) obtenemos

$$-\frac{C_r R}{K} U_{zz} = \omega - \frac{1}{C_r} \Psi \omega_z$$

expresando esta última ecuación en términos de  $\psi$  obtenemos

$$\Psi_x - \frac{C_r R}{K} \Psi_{zzz} = \frac{1}{C_r} \Psi \Psi_{xz}$$

El problema para la estabilidad del flujo se transforma en

$$\zeta_t + (1+z^2) \zeta_x + 2\Psi_x - \frac{1}{R} \Delta \zeta = Q(\Psi)$$

$$\xi = -\Delta \Psi$$

$$\Psi = \Psi_z = 0 \quad \text{en } z=1$$

$$\Psi_{xx} - \frac{C_v R}{K} \Psi_{zzz} = \frac{1}{\tau} \Psi \Psi_{xz} \quad \Psi_z = 0 \quad \text{en } z=-1$$

donde  $Q(\psi)$  es una forma cuadrática que es la misma que en el caso de paredes rígidas. El único cambio es en la condición de frontera que ahora involucra una tercera derivada y un término cuadrático.

El desarrollo es el mismo que en el caso de paredes rígidas. Las únicas modificaciones son en la forma de la función propia en el problema linealizado, que ahora es diferente y la aparición de nuevos términos por el efecto de las condiciones de frontera.

Por otra parte la forma de la solución será la misma y lo que cambiará serán los coeficientes en la ecuación Ginzburg-Landau.

A continuación se indican las modificaciones al caso de paredes rígidas.

Con el mismo desarrollo para  $\psi$  de la pag 29 y con los mismos escalamientos

$$\xi = \varepsilon(x + \alpha_{1r} t) \quad z = \varepsilon^2 t$$

donde la velocidad de grupo  $\alpha_{1r}$  es ahora diferente de  $\alpha_{1r}$  obtenemos:

Términos proporcionales a  $\varepsilon E$

$$\mathcal{L}(\psi_1) = 0$$

$$\Psi_{11} = \Psi_{12} = 0 \text{ en } z=1$$

$$i\alpha_c \Psi_{11} - \frac{c_r R_c}{K} \Psi_{11z2z} = 0 \quad \Psi_{12} = 0 \text{ en } z=-1$$

de donde obtenemos que

$$\Psi_{11}(z, \xi, z) = A(z, z) \Psi_1(z)$$

la ecuación adjunta también cambiará y toma la forma

$$\mathcal{L}^+(\Phi) = (1-z^2-cr)[\Phi'' - \alpha_c^2 \Phi] - 4/2 \Phi' + \frac{i}{\alpha_c R_c} [\Phi^{IV} - 2\alpha_c^2 \Phi'' + \alpha_c^4 \Phi] = 0$$

$$\Phi = \Phi_z = 0 \text{ en } z=1$$

$$i\alpha_c \Phi + \frac{c_r R_c}{K} (2i\alpha_c R_c \Phi - \Phi_{z2z}) = 0 \quad \Phi_z = 0 \text{ en } z=-1$$

Términos proporcionales a  $c^2 E^2$

$$(1-z^2-cr)[\Psi_{12}'' - 4\alpha_c^2 \Psi_{12}] + 2\Psi_{12} + \frac{i}{\alpha_c R_c} [\Psi_{12}^{IV} - 8\alpha_c^2 \Psi_{12}'' + 16\alpha_c^4 \Psi_{12}] = -\frac{1}{2} A^2 R_1(\Psi_1)$$

$$\Psi_{22} = \Psi_{22z} = 0 \text{ en } z=1$$

$$i2\alpha_c \Psi_{22} - \frac{c_r R_c}{K} \Psi_{22z2z} = 0 \quad \Psi_{22z} = 0 \text{ en } z=-1$$

donde  $R_1$  y las siguientes expresiones para  $R_2$ ,  $R_3$ ,  $R_4$  y  $R_5$  son las mismas que en la sección anterior.

Resultados numéricos sugieren que la ecuación homogénea no tiene soluciones, por lo tanto tenemos:

$$\Psi_{22} = A^2(\xi, z) \Psi_2$$

Términos proporcionales a  $e^z$  independientes de  $E$

$$\frac{1}{R_0} \varphi_{02}^{IV} = i \alpha_c A \bar{A} R_2(\psi_1)$$

$$\varphi_{02} = \varphi_{02z} = 0 \quad \text{en } z=1$$

$$\varphi_{02} = \varphi_{02z} = 0 \quad \text{en } z=-1$$

de donde

$$\varphi_{02} = (z, \bar{z}, z) = |A(\bar{z}, z)|^2 F(z)$$

$$F(z) = i \alpha_c R_0 \int_{-1}^z S(r) + \frac{C_1}{z} (r^2 - 1) + C_2 (r+1) dr$$

$$C_1 = \frac{z}{2} \int_{-1}^1 S(r) dr + 3 S(1) \quad C_2 = \frac{1}{2} S(1)$$

y  $S(r)$  esta dada por la misma expresión de la sección anterior.

Vemos así que el término de frontera flexible altera el flujo medio pudiendo producir esto un efecto estabilizante tal como ocurre en otros problemas.

Términos proporcionales a  $e^{2z}$

Los términos dispersivos son ahora producidos también por la condición de frontera. Estos modifican a la velocidad de grupo y no causan ningún efecto sobre la estabilidad de las soluciones

$$\mathcal{L}(\varphi_{12}) = \frac{i}{\alpha_c} A \bar{A} R_3(\psi_1)$$

$$\varphi_{12} = \varphi_{12z} = 0 \quad \text{en } z=1$$

$$i \alpha_c \varphi_{12} - \frac{Cr R_0}{K} \varphi_{12zzzz} = 0 \quad \varphi_{12z} = 0 \quad \text{en } z=-1$$

donde ahora en  $R_3(\psi_1)$  aparece la nueva velocidad de grupo  $\alpha_{1r}$

$$R_3(\psi_1) = \alpha_{1r} [\psi_1'' - \alpha_c^2 \psi_1] - 2\alpha_c^2 \psi_1 (1 - z^2 - cr) + (1 - z^2 - \frac{4i\alpha_c}{R_c}) [\psi_1'' - \alpha_c^2 \psi_1] + 2\psi_1$$

de donde obtenemos por la condición de ortogonalidad que

$$\alpha_{1r} = \frac{\int_{-1}^1 \Phi \{ 2\alpha_c^2 \psi_1 (1 - z^2 - cr) - (1 - z^2 - \frac{4i\alpha_c}{R_c}) [\psi_1'' - \alpha_c^2 \psi_1] - 2\psi_1 \} dz}{\int_{-1}^1 \Phi [\psi_1'' - \alpha_c^2 \psi_1] dz}$$

donde  $\Phi$  es solución de la ecuación (8). Lo que es importante es que  $\alpha_{1r}$  resulta ser una constante real y como tal no tiene influencia en la estabilidad y el efecto de pared elástica es solo el modificar la velocidad del grupo.

#### Términos proporcionales a $c^2 E$

Se tiene a este orden la misma situación que en el caso de paredes rígidas pero como el flujo medio ha cambiado los términos proporcionales a  $|A|^2 A$  serán diferentes. El coeficiente de  $A_{\xi\xi}$  no presenta cambios cualitativos.

La ecuación toma la forma

$$\mathcal{L}(\psi_3) = \frac{i}{\alpha_c} A_{\tau} [\psi_1'' - \alpha_c^2 \psi_1] + \frac{i\lambda A}{\alpha_c R_c^2} [\psi_1'' - 2\alpha_c^2 \psi_1 + \alpha_c^4 \psi_1] -$$

$$- \frac{i}{\alpha_c} A_{\xi\xi} R_{41}(\psi_1, \psi_{10}) + A|A|^2 R_5(\psi_1, \psi_2, F)$$

$$\psi_{1z} = 0 \quad \psi_{13z} = 0 \quad \text{en } z = 1$$

$$i\alpha_c \psi_{1z} - \frac{cr R_c}{k} \psi_{13z} = \frac{i\alpha_c}{R_c} \lambda A \psi_1 \quad \psi_{13z} = 0 \quad \text{en } z = -1$$

de donde usando la condición de ortogonalidad tenemos que  $A$  satisface la siguiente ecuación de Ginzburg-Landau.

$$A_{\tau} - a_2 A_{\xi\xi} = \lambda a_3 A + a_4 A|A|^2$$

donde

$$a_2 = \frac{\int_{-1}^1 R_4(\psi_1, \psi_0) \Phi dz}{\int_{-1}^1 \Phi[\psi_1'' - \alpha_c^2 \psi_1] dz}$$

$$a_3 = \frac{\int_{-1}^1 \Phi \left\{ -\frac{1}{R_c^2} [\psi_1'' - 2\alpha_c^2 \psi_1 + \alpha_c^4 \psi_1] - i\alpha_c L(M) \right\} dz}{\int_{-1}^1 \Phi[\psi_1'' - \alpha_c^2 \psi_1] dz}$$

donde M es tal que

$$M(1) = M'(-1) = 0$$

$$i\alpha_c M(-1) - \frac{C_r R_c}{K} M'''(-1) = \frac{i\alpha_c}{R_c} \psi_1(-1) \quad M'(-1) = 0$$

$$a_4 = \frac{i\alpha_c \int_{-1}^1 \Phi R_5(\psi_1, \psi_2, F) dz}{\int_{-1}^1 \Phi[\psi_1'' - \alpha_c^2 \psi_1] dz}$$

tenemos ahora que  $a_2, a_3, a_4$  son números complejos.

tomando

$$a_2 = a_{2r} + i a_{2i}$$

$$a_3 = a_{3r} + i a_{3i}$$

$$a_4 = a_{4r} + i a_{4i}$$

y haciendo

$$A(\xi, \tau) = e^{i\gamma\tau} A_1(\xi, \tau)$$

donde  $\gamma = a_{2i}\lambda + a_{4i}|A_1|$ , obtenemos:

$$A_{1\tau} - a_{2r} A_{1\xi\xi} = \lambda a_{3r} A_1 + a_{4r} A_1 |A_1|^2$$

Si buscamos soluciones que no dependan de  $\tau$  ni de  $\xi$  obtenemos que

$$|A_1|^2 = -\frac{a_{3r}\lambda}{a_{4r}} \quad |A_1|^2 = 0$$

si queremos una solución real diferente de 0 tenemos que esta debe satisfacer

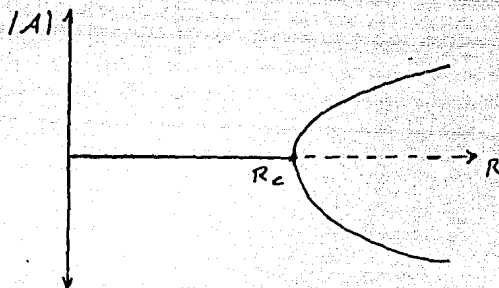
$$A_c^2 = - \frac{a_{3r}}{a_{4r}} \lambda$$

$$\lambda = \frac{1}{\epsilon_c} (R - R_c)$$

por lo tanto

$$A_c = \left( -\frac{1}{\epsilon_c} \frac{a_{3r}}{a_{4r}} (R - R_c) \right)^{\frac{1}{2}}$$

pero ahora como  $a_{4r} < 0$  esta expresión tiene sentido solo para  $R > R_c$ . Con el mismo análisis que en la sección anterior obtenemos que la solución  $A_c$  es estable, obteniéndose el siguiente diagrama de bifurcación.



donde nuevamente las líneas continuas representan soluciones estables y las ocultas soluciones inestables.

Así para el flujo sobre paredes flexibles después del número de Reynolds crítico las perturbaciones pasan a un estado de amplitud constante donde se mantienen estables.

ESTA TESIS NO DEBE  
SALIR DE LA BIBLIOTECA



## B I B L I O G R A F I A

[1] BATCHELOR, G.K., An Introduction to Fluid Dynamics. Cambridge University Press. Gran Bretaña, 1967.

[2] BENJAMIN, B.T. Internal Waves of Permanent Form in Fluids of Great Depth. "J. Fluid Mech." (1967) vol. 29, parte 3, pp. 559-592.

[3] BOB PALAIS. Blowup For Nonlinear Equations Using a Comparison Principle in Fourier Space. "Communication on Pure and Applied Mathematics" (1988), vol. XLI pp. 165-196.

[4] CORCOS, G.M. y Lin, S.j., The Mixing layer: Deterministic Models of a Turbulent Flow. parte 1 y 2. de Introduction and the two dimensional flow. "J. Fluid Mech." 139, Feb. 1984, pp. 29-66. y 67-96

CORCOS y Sherman, F.S., The Mixing Layer: Deterministic Models of a Turbulent Flow. parte 3 The effect of plane strain on the Dynamics of Streamwise Vortices. "J. Fluid Mech." 141 Abril 1984, pp. 139-178

[5] DAVIES, S.J. y WHITE, 1928 Proc. Roy. y Soc A 119, 92-107

[6] DRAZIN y Reid Hidrodynamic Stability. Cambridge University Press. Gran Bretaña 1981.

[7] MARSDEN, J.F. Y McCracken. The Hopf Bifurcation and Its Applications. Springer-Verlag Nueva York 1976.

[8] NEU, J.C. The Dynamics of Stretched Vortices, "J. Fluid Mech." 143 Junio 1984, pp 253-276.

[9] ROTENBERRY, J.M. Effect of Compliant Boundaries on Weakly Nonlinear Shear Waves in Channel Flow. Ph D.Thesis, California

Institute of Technology, Pasadena California 1989.

[10] STEWARTSON, K. y Stuart. A Non-linear Instability Theory for a Waves System in Plane Poiseuille Flow. "J. Fluid Mech." (1971) vol. 48 parte 3, pp 529-545.

[11] TIJONOV, A. y Samarsky Ecuaciones de la Física Matemática. Mir, Moscú 1983.

[12] VON MISES, R. y Friedrichs Fluids Dynamics. Springer-Verlay Nueva York 1971.

[13] WHITHAM, G.B., Linear and Nonlinear Waves. John Wiley & Sons 1974.